



第5章 抗饱和(Anti-Windup)设计

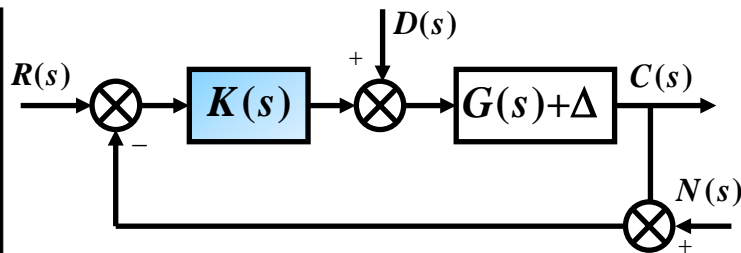
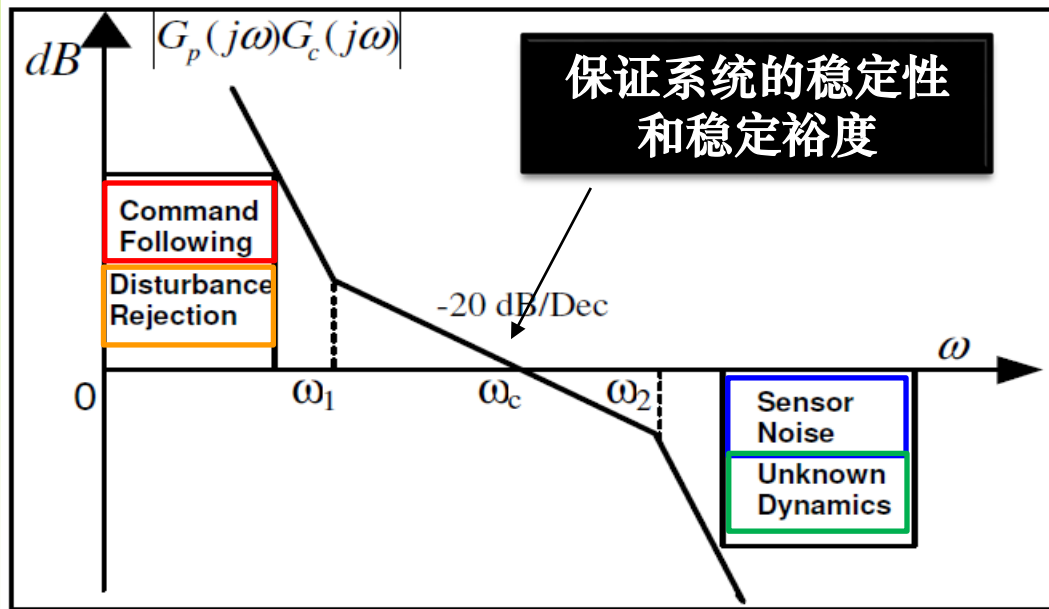
——2023年春季学期

授课教师： 马 杰 (控制与仿真中心)
霍 鑫 (控制与仿真中心)
马克茂 (控制与仿真中心)
陈松林 (控制与仿真中心)



回顾篇

控制系统设计的思想和原则



道

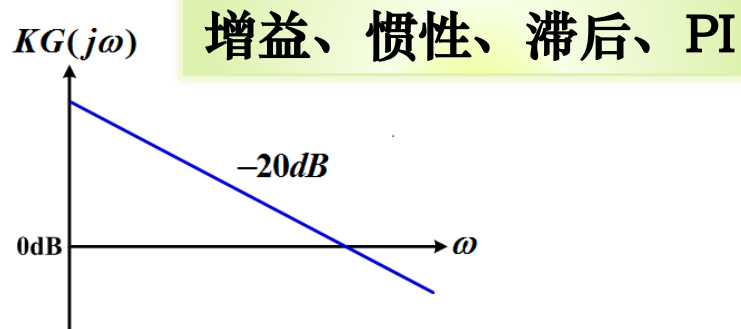
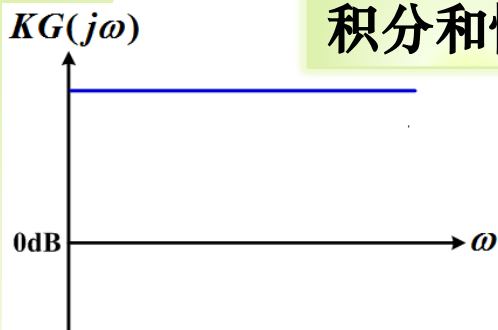
- **指令跟踪**对系统低频的斜率和增益提出了要求;
- **扰动抑制**对干扰作用点之前的特性提出了要求;
- **噪声抑制**对系统的带宽和高频特性提出了要求;
- **不确定性**对系统的带宽和高频特性提出了要求;



回顾篇

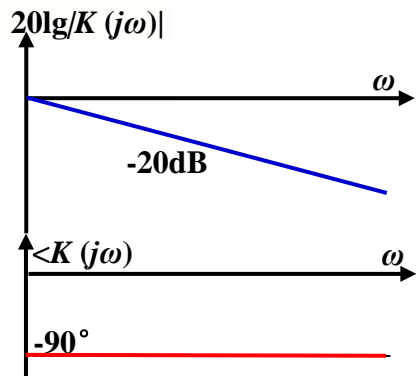
术

带宽设计的第一种情况（自身带宽较宽，需要压低带宽）

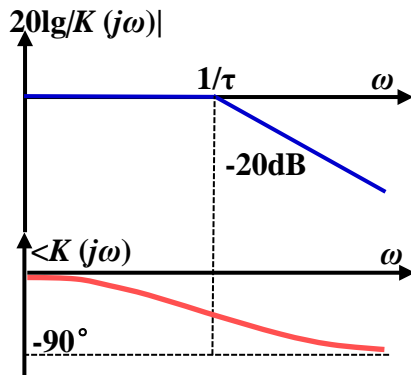


压低带宽的主要方法（积分，惯性，滞后，PI）

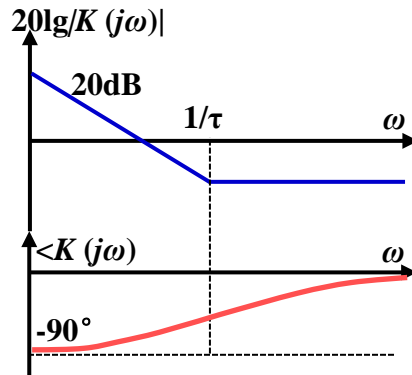
$$K(s) = \frac{1}{s}$$



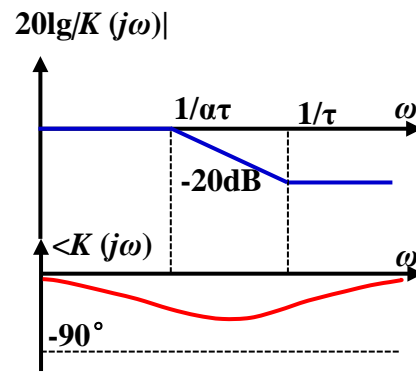
$$K(s) = \frac{1}{\tau s + 1}$$



$$K(s) = \frac{K_1(\tau s + 1)}{s}$$



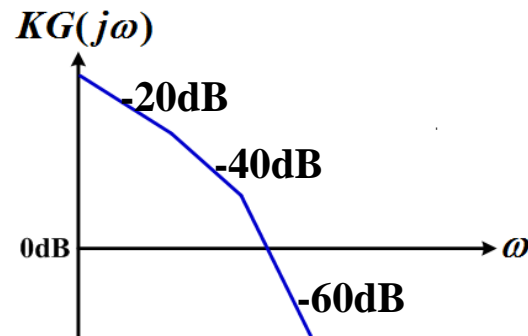
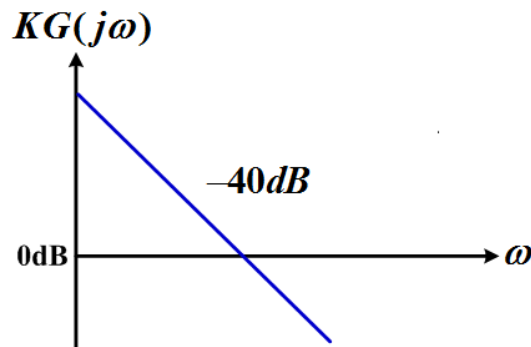
$$K(s) = \frac{\tau s + 1}{\alpha \tau s + 1}$$





回顾篇

带宽设计的第二种情况（自身带宽较窄，需要拓展带宽）



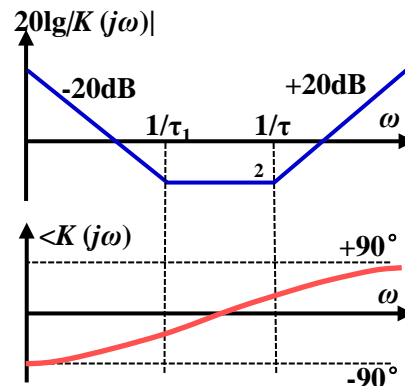
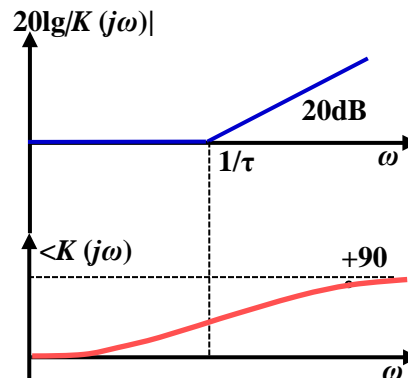
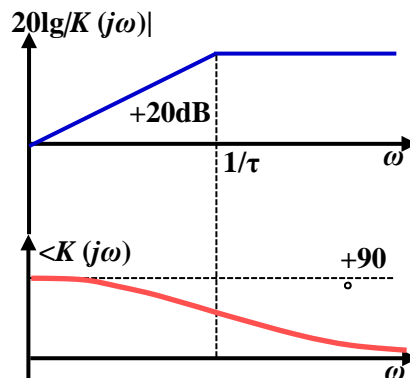
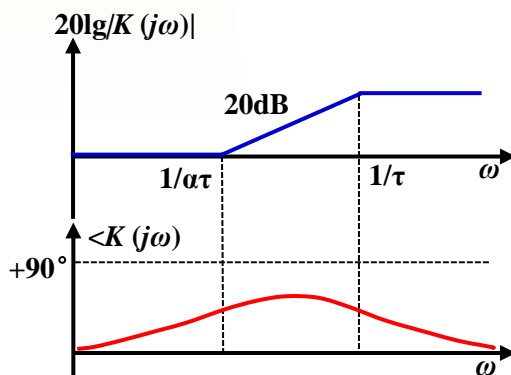
拓展带宽的主要方法（超前、近似微分/PD/PID）

$$K(s) = \frac{\alpha\tau s + 1}{\tau s + 1}$$

$$K(s) = \frac{Ks}{1 + \tau s}$$

$$K_{PD}(s) = K_1(\tau s + 1)$$

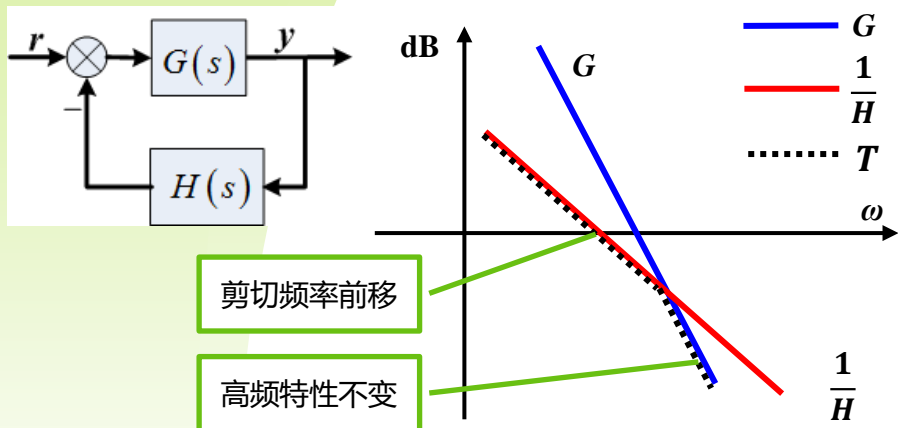
$$K_{PID}(s) = \frac{K_1(\tau_1 s + 1)(\tau_2 s + 1)}{s}$$





回顾篇

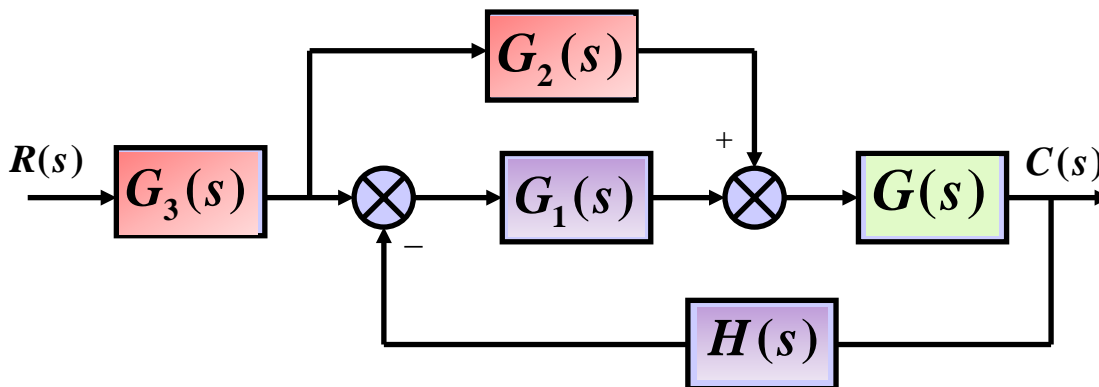
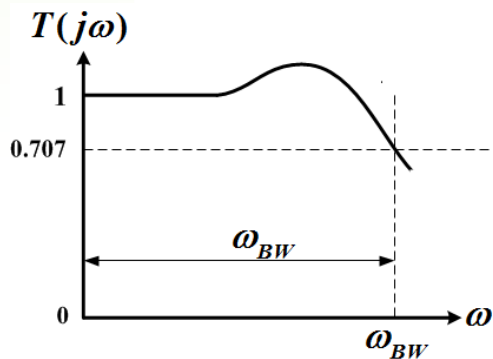
反馈校正可以直接改变闭环系统的带宽



$$T(s) = \frac{G}{1+GH} = \begin{cases} \frac{1}{H}, & GH \gg 1, \text{ 即 } G \gg \frac{1}{H} \\ G, & GH \ll 1, \text{ 即 } G \ll \frac{1}{H} \end{cases}$$

当 G 比 $\frac{1}{H}$ 阶次高时，低频 $\frac{1}{H}$ 为主导，高频由 G 主导

拓展整个系统带宽的方法

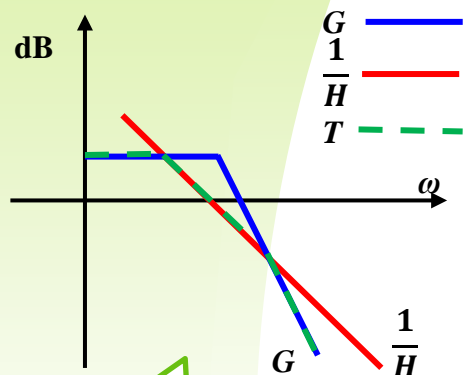




纠错篇

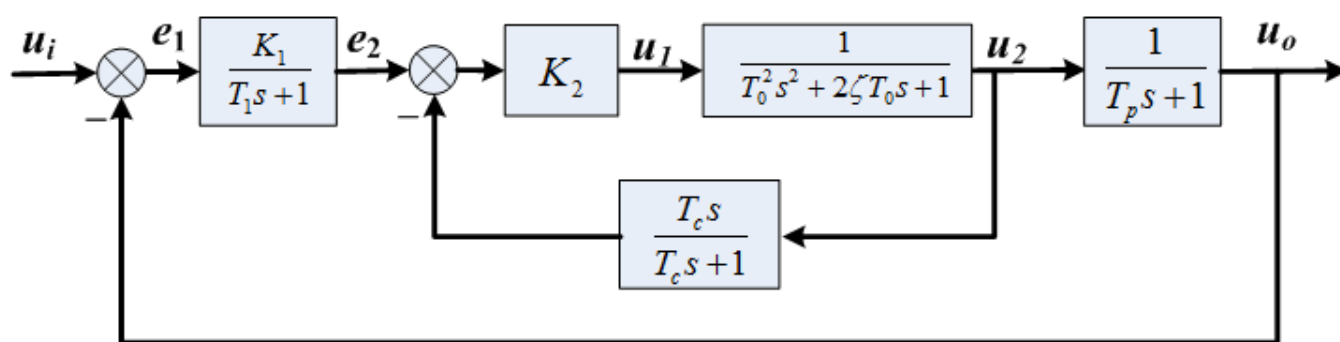
校正之后的对象特性完全由G与1/H的关系决定

例3：电压调节器

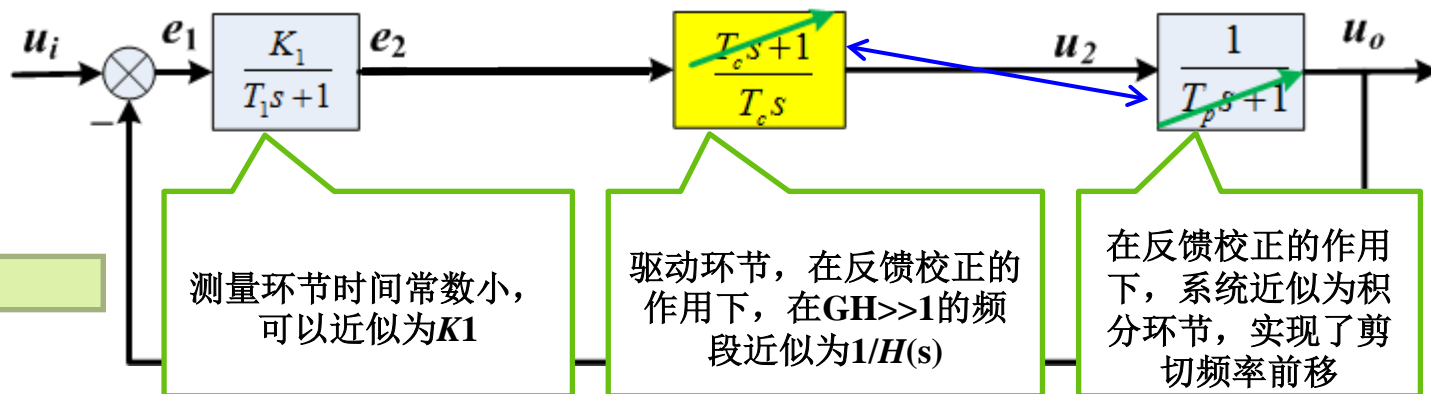


校正的结果，改变中频段特性，同时压低了穿越频率

$$KG(s) \approx \frac{K_1}{T_c s}$$



内回路增益较高时

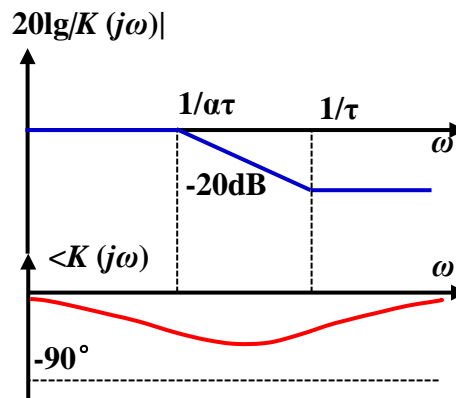




回顾篇

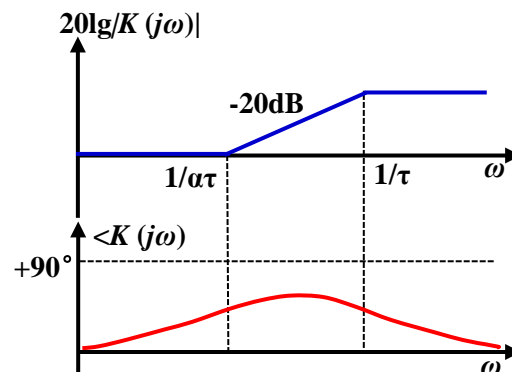
关于滞后环节（改增益-损相角-多个分散）

- 滞后可以用在低频，抬高低频增益，减小误差，但要考虑相位损失，使用时，可以用**多个中心频率错开**的滞后环节，**避免相角的集中损失**，从而导致条件稳定。
- 也可以用在高频，**压低高频增益**，降低穿越频率，但要注意其在剪切频率处带来的相位滞后，使用时要保证系统有足够的稳定裕度。



关于超前环节（补相角-抬增益-多个集中）

- 超前环节一般用在高频，也就是在剪切频率处，一个超前能够补偿的相角是有限的，通常需要多个超前环节一起使用，应用时每个超前环节的**中心频率都要和期望的剪切频率一致**，这样可以**集中补偿相角**，减小对高频增益的提升和对低频增益的衰减。

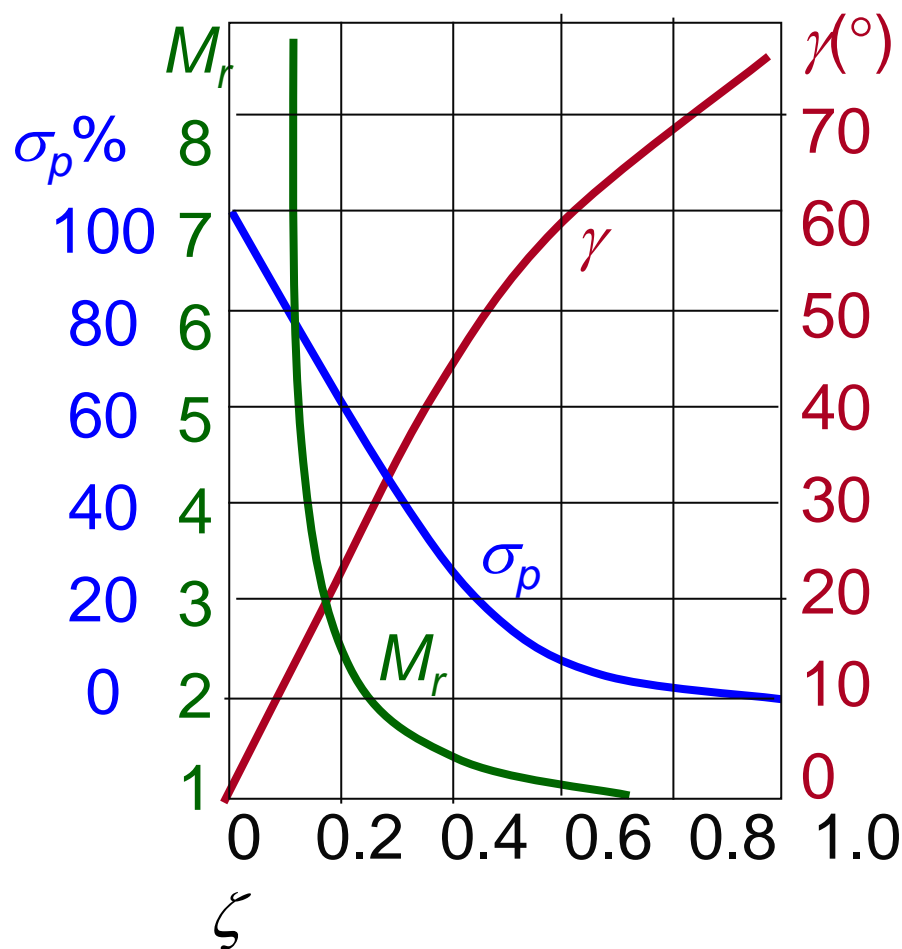




回顾篇

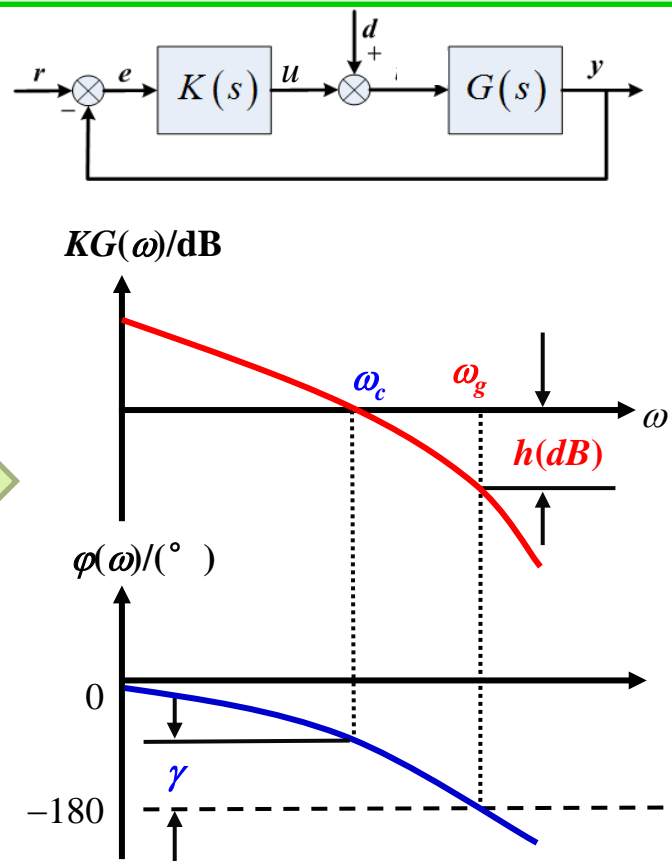
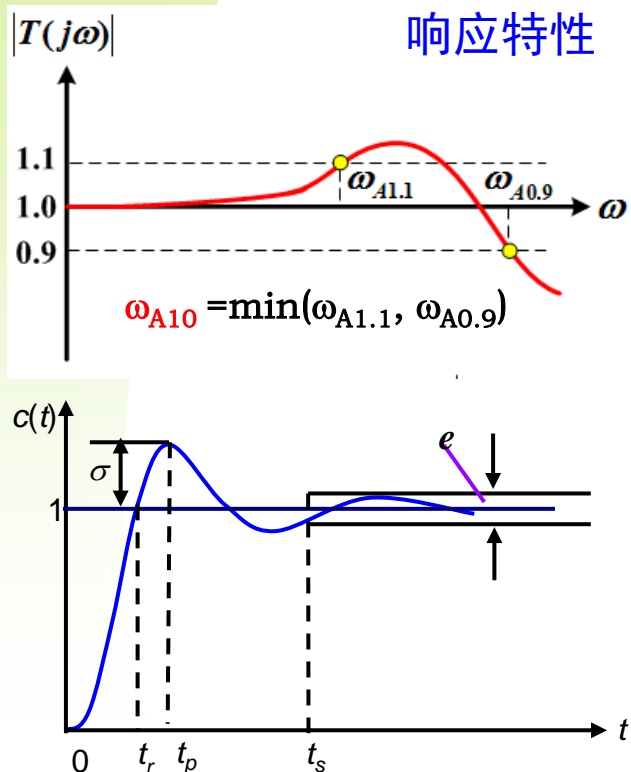
指标的关系（如何将闭环的时域和频域指标转化为开环频域指标）

- 开环频域指标 γ 和时域指标 σ 和 t_s 的关系
 - (1) 越大, $\sigma\%$ 越小; γ 越小, $\sigma\%$ 越大。
一般希望 $30^\circ \leq \gamma \leq 70^\circ$;
 - (2) ω_c 越大, t_s 越小;
- 闭环频域指标 M_r 和 ω_b 与时域指标 σ 和 t_s 的关系
 - (1) M_r 越大, $\sigma\%$ 越大;
 - (2) ω_b 越大, t_s 越小;
- 开环频域指标 ω_c 和 γ 和闭环频域指标 M_r 和 ω_b 的关系
 - (1) γ 越大, M_r 越小 ($M_r \approx 1/\sin\gamma$);
 - (2) ω_b 越大, ω_c 越大 ($\omega_c < \omega_b < 2\omega_c$);





频域与时域指标的转换关系



由时域指标和闭环指标确定开环指标 K , ω_c , γ , h , 灵活运用各种手术刀实现开环指标。先用闭环校正（串联，反馈），再用开环校正（顺馈，前置滤波）。



提升篇

带宽设计的几点说明

- 设计带宽之前，要明确系统的**性能指标**和**被控对象**特点（**指标、对象、方法**）；
- 根据情形找最合适的环节来使用，明确是**压低还是拓展**，是**补相角还是降增益**；
- 多数情况下，校正环节在改变系统特性的同时会带来**副作用**；
- 校正环节起作用的**频带越窄**，**副作用越小**，精确诊断，精准手术（微创最好）；
- 这些环节的合理**选取和使用（优化）**，可以**减小副作用**，多还是少，集中还是分散要有讲究；
- 考虑到控制系统自身的约束和校正环节的副作用，带宽的拓展是有上限的，**带宽是不能任意设计的**；
- 指标很多，因素很多，控制设计时要懂得**折中和取舍**，各种方法**灵活应用**；
- **超前滞后**好用，是因为副作用可控，可精确计算，可以优化。
- 原理（**道**）比方法（**术**）更重要，掌握**道**才能找到更多的**术**，更好地使用**术**，关键时就可以应对自如；



一个系统的带宽设计的过宽会导致

- ☒ A 系统会对噪声更敏感
- ☒ B 系统更容易出现谐振现象
- ☒ C 系统的相角裕度更可能不足
- ☒ D 系统的阶跃响应的超调可能会变大

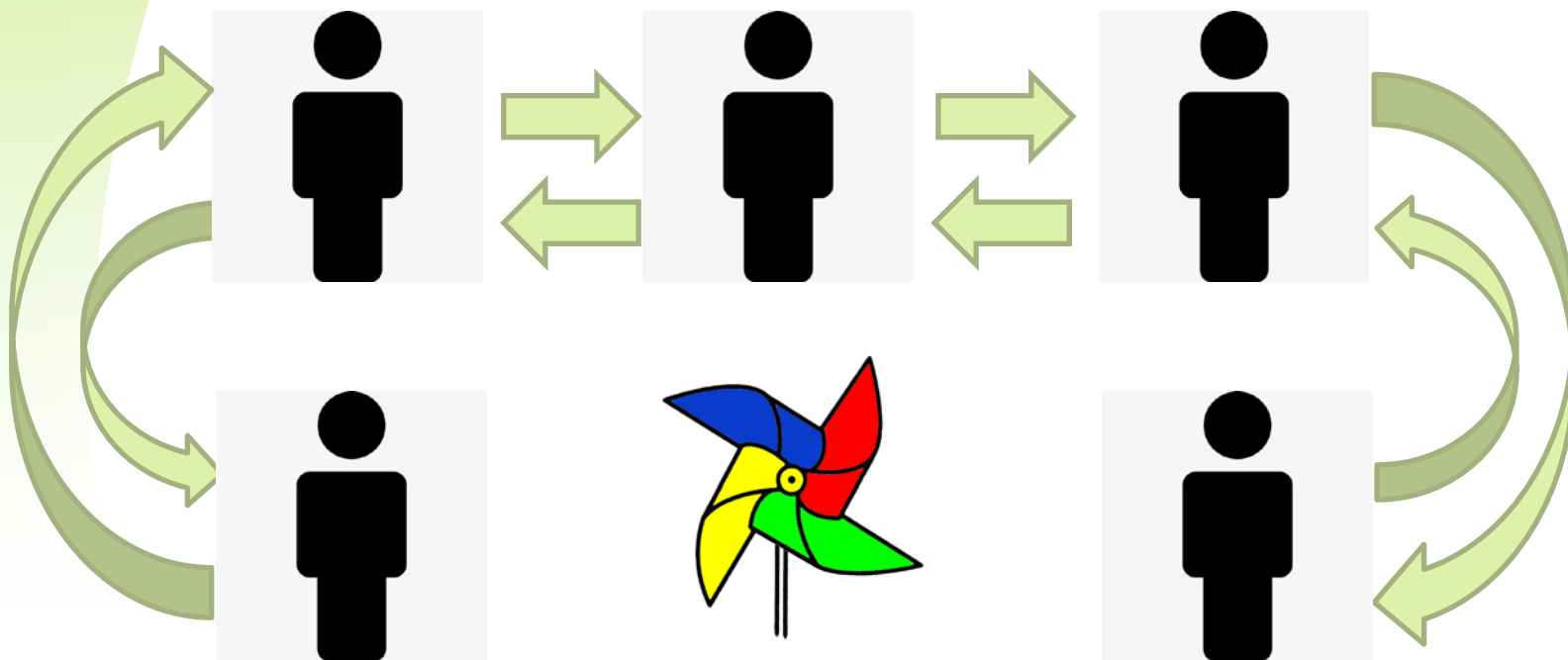
提交



拓展篇

反馈的力量（续）

- 要关注自己的小闭环系统，更要关注自己在社会大闭环系统中的作用



- 不做有输入没输出的子系统，要努力争取做大系统中正能量的传递者

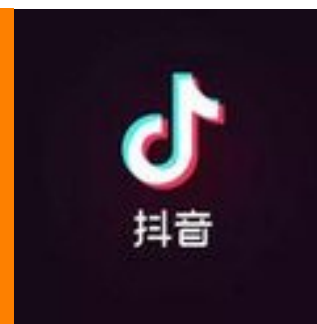


拓展篇

无处不在的反馈（续）

- 游戏可以提供即时的反馈，让人欲罢不能，是非常高级的控制

机票价格
推荐商品
游戏难度
新闻内容
视频类型



- 利用你的反馈来控制你，最大化你花上面的时间和金钱



拓展篇

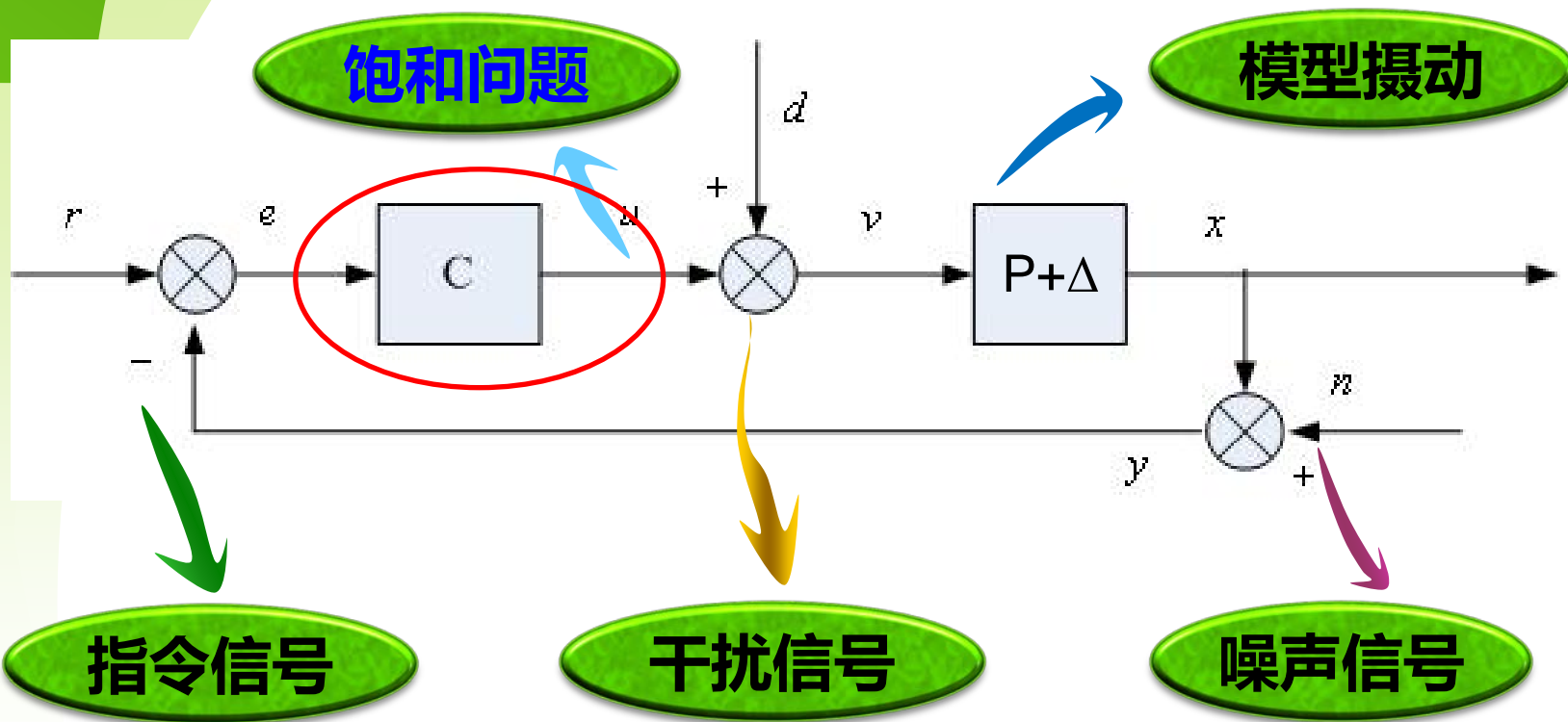
无处不在的反馈（续）



防止被控制的神奇装备——手机监狱（手机自律盒）



开新篇



$$G_{xr} = \frac{PC}{1+PC}$$

$$G_{xd} = \frac{P}{1+PC}$$

$$G_{xn} = \frac{-PC}{1+PC}$$



学习目标

本节课需要掌握的内容

- 掌握**饱和产生的原因**，可能带来的问题；
- 学会**执行器饱和及转换速率限制**的数学描述；
- 掌握针对**积分饱和**的处理方法；
- 熟悉其他**三种控制器抗饱和 (Anti-Windup)** 方法



本章主要内容

A1

执行器约束问题

A2

Anti-Windup设计

A3

Anti-Windup控制器的一般形式



5.1 执行器的约束问题

5.1.1

执行器约束问题的提出

5.1.2

执行器约束的描述方法

5.1.3

积分器的Windup问题

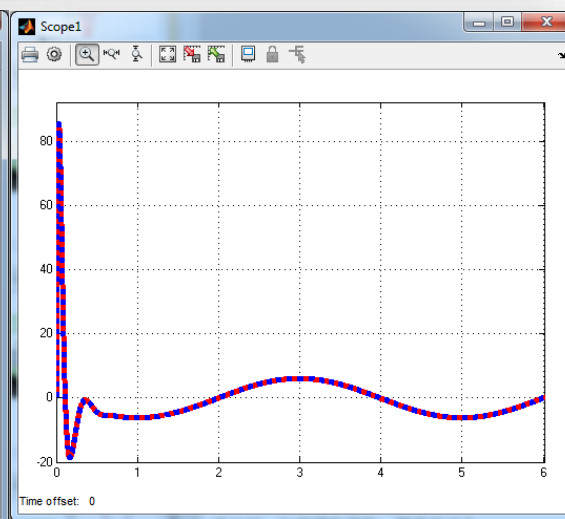
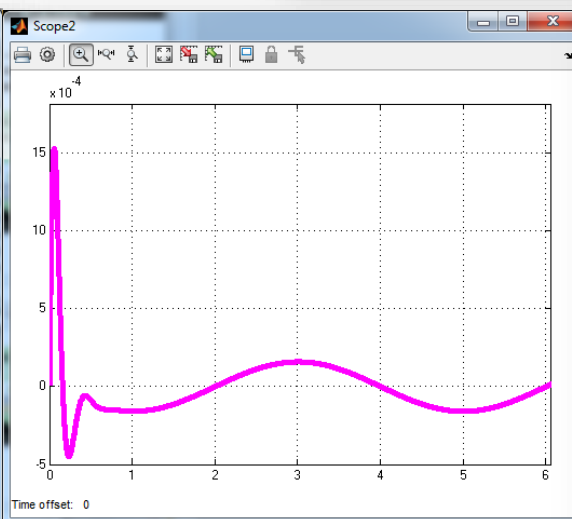
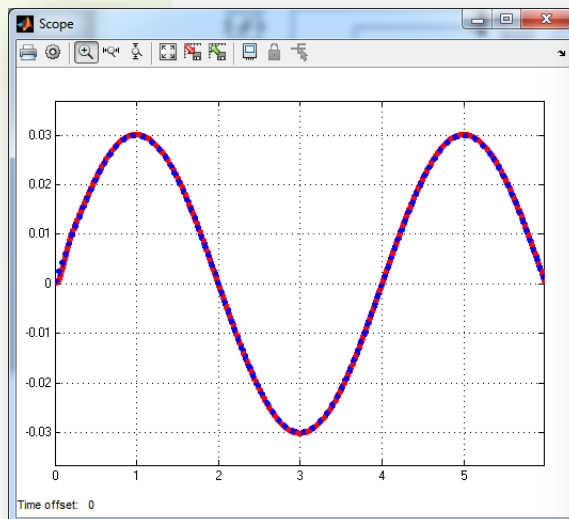
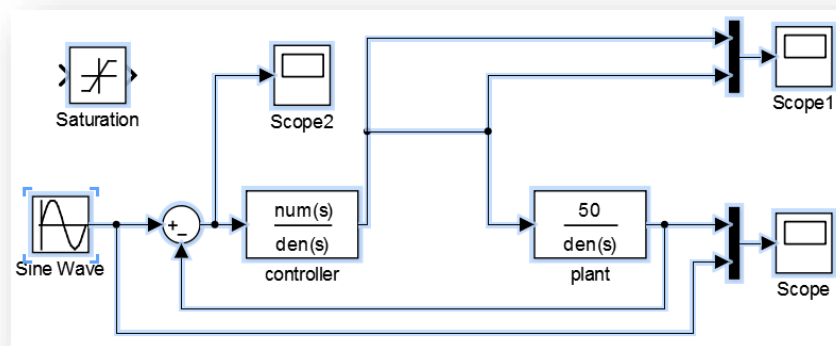


5.1.1 执行器约束问题的提出

控制量增大原因分析 | 执行器所带来的设计约束

无饱和环节

输入0.25Hz 幅值0.03，
最大控制量80，最大偏差0.0015



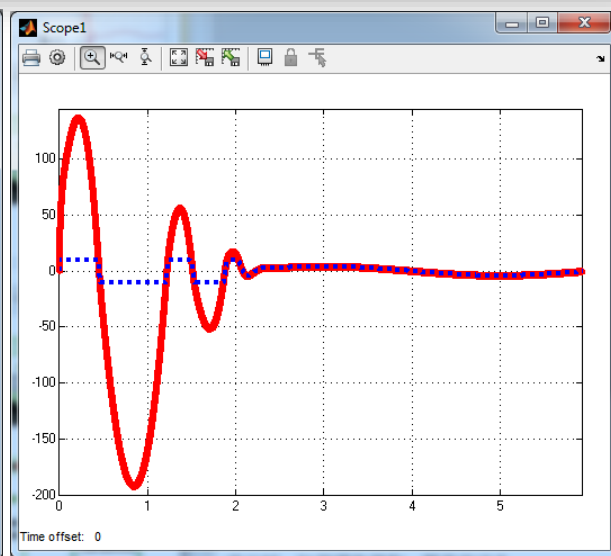
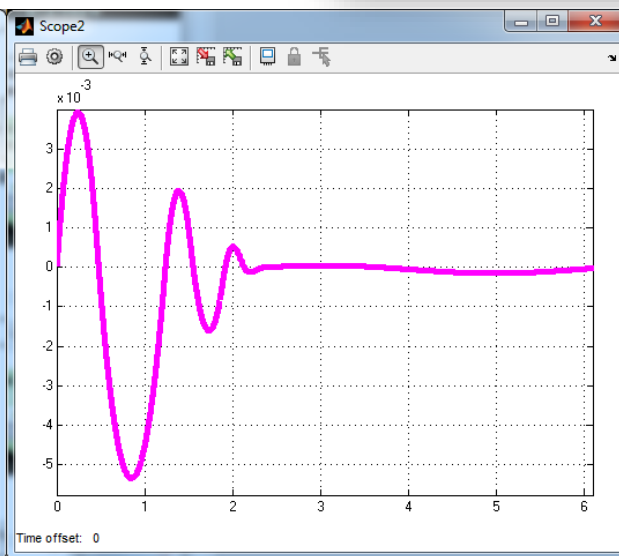
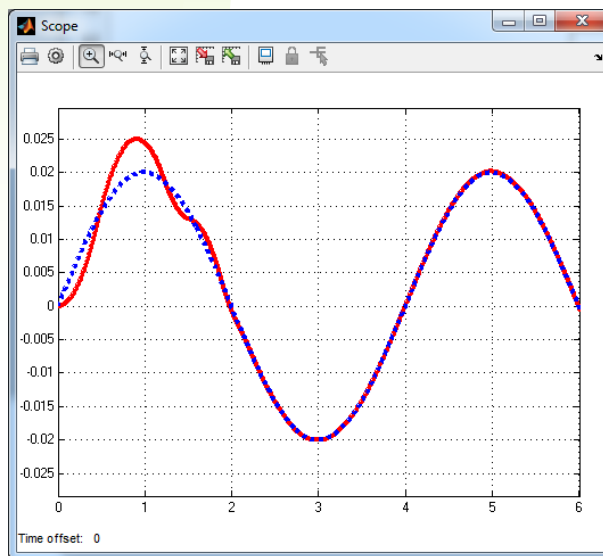
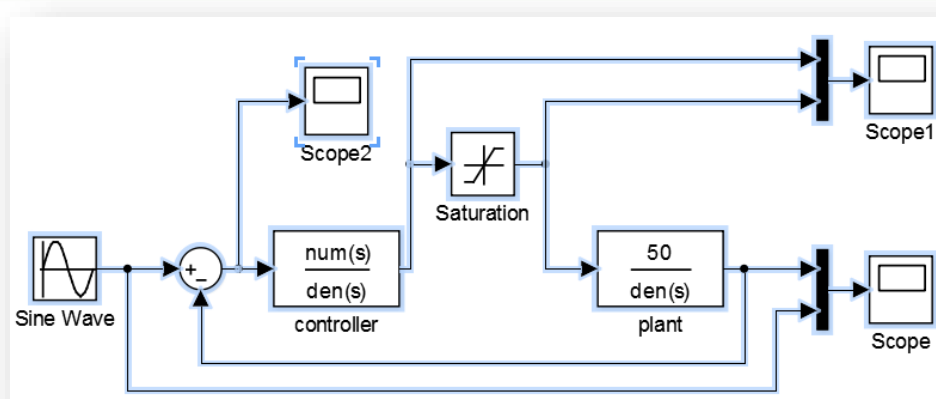


5.1.1 执行器约束问题的提出

控制量增大原因分析 | 执行器所带来的设计约束

有饱和环节

指令频率0.25Hz 幅值
0.02，最大控制量**150**，
最大偏差**0.04**



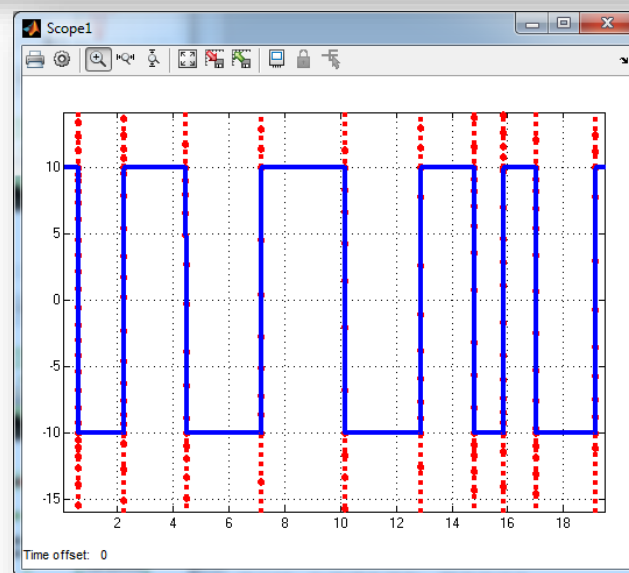
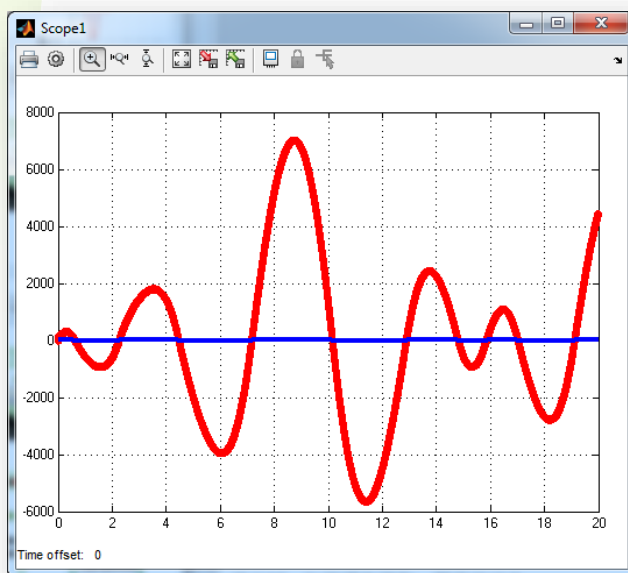
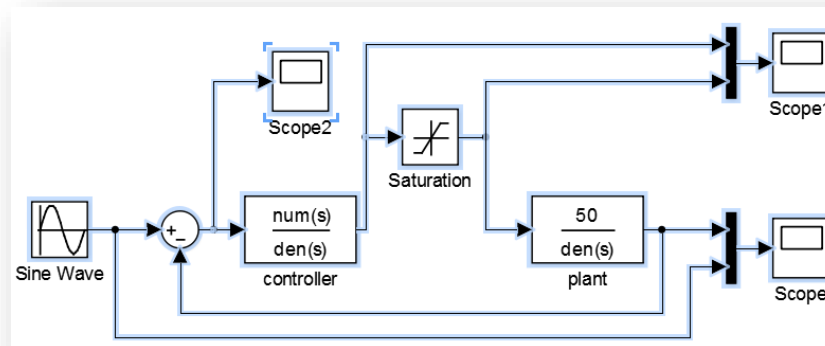


5.1.1 执行器约束问题的提出

控制量增大原因分析 | 执行器所带来的设计约束

有饱和环节

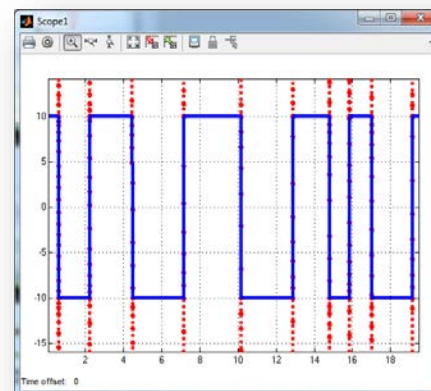
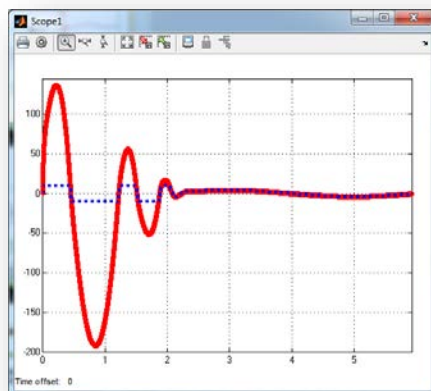
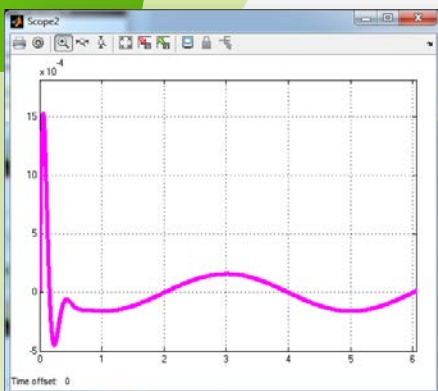
指令频率0.25Hz 幅值0.03，
最大控制量7000，不稳定



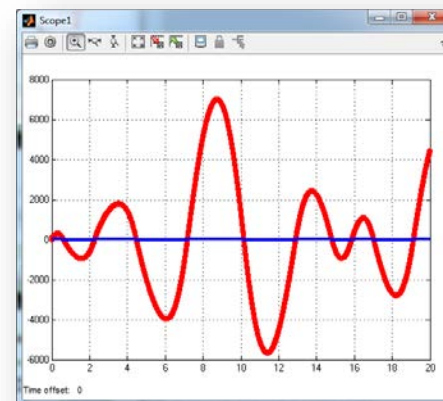
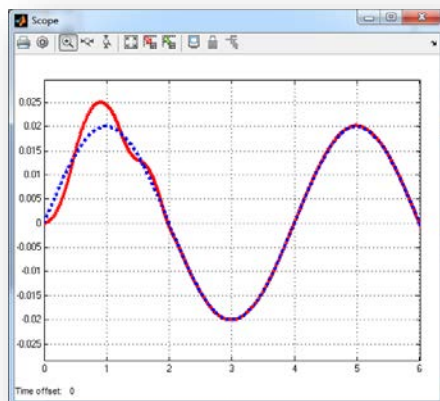
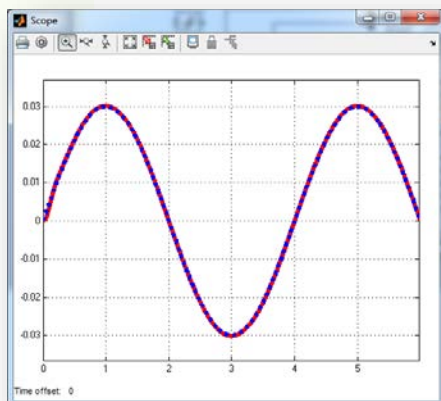


5.1.1 执行器约束问题的提出

洞见



如何解决这一问题？





引起饱和的原因有哪些？

A

指令幅值过大

B

指令变化过快

C

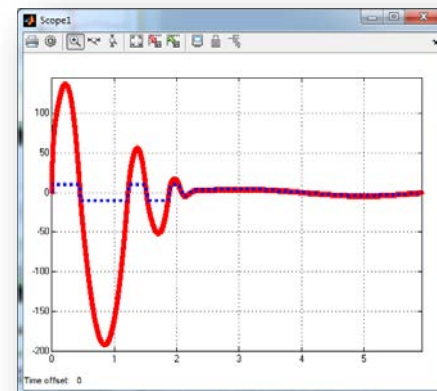
干扰或噪声过大

D

系统中存在积分环节

E

执行器能力不足



提交

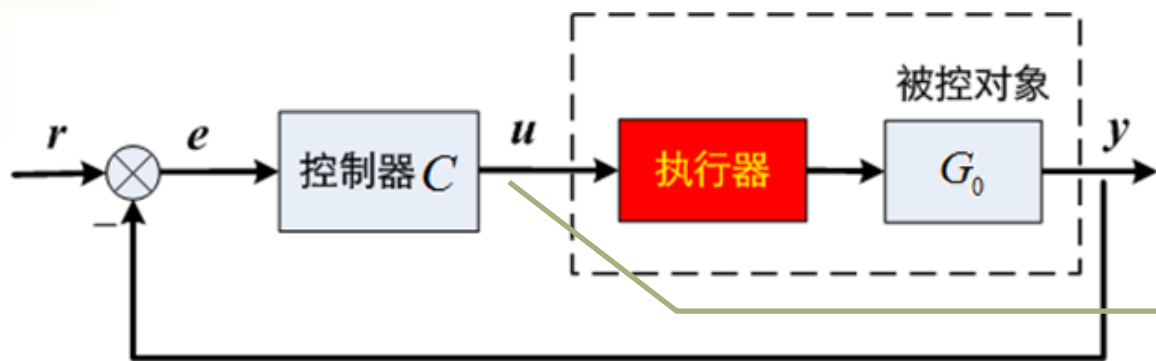


5.1.1 执行器约束问题的提出

控制量增大原因分析|执行器所带来的的设计约束

控制系统的存在很多非线性因素，有些可以忽略，有些在设计时必须要考虑。**执行器存在一些典型的物理限制**：如电机的最大转速限制、峰值力矩限制；阀门的开合不能超过全开或全闭等。

对于在比较宽范围内运行的控制系统，**控制量有可能达到执行器的极限（幅值极限或变化速率极限）**。当这种情况发生时，**反馈回路失效**，系统将运行于**开环状态**，即只要执行器处于饱和，即执行器停留在其极限状态，系统的输出相当于开环响应。

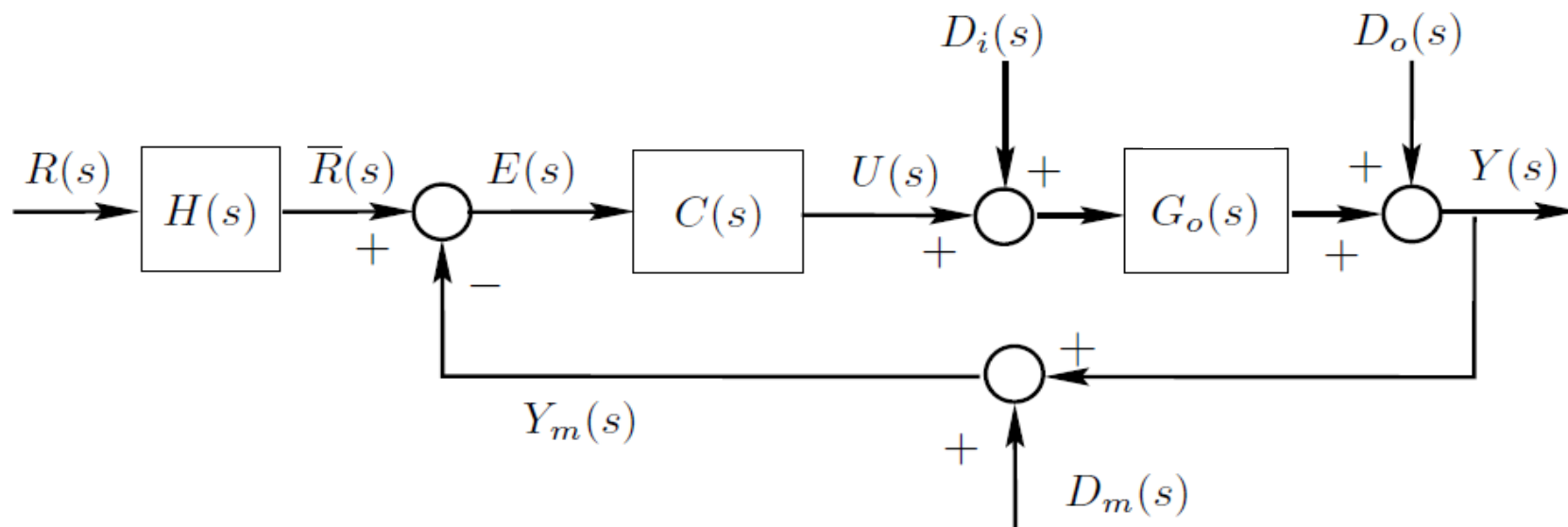


导致控制变量增大的原因是什么？



5.1.1 执行器约束问题的提出

控制量增大原因分析 | 执行器所带来的设计约束



双自由度闭环回路

$$T_o \triangleq \frac{G_0 C}{1 + G_0 C}$$

$$S_o \triangleq \frac{1}{1 + G_0 C}$$

$$S_{uo} \triangleq \frac{C}{1 + G_0 C}$$

$$S_{io} \triangleq \frac{G_0}{1 + G_0 C}$$

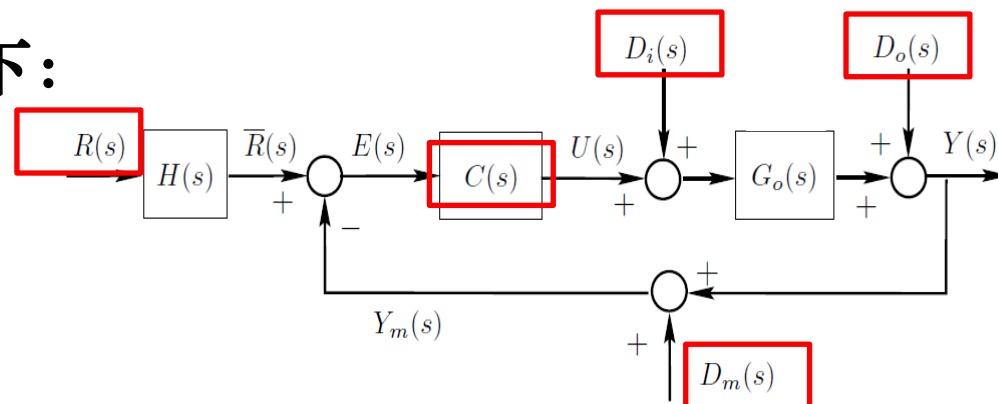


5.1.1 执行器约束问题的提出

信号系统

控制量增大原因分析 | 执行器所带来的设计约束

输入与输出表达式关系如下：



控制器特性和各种输入信号都可能增大 U ，导致执行器饱和

$$Y(s) = T_o(s)(H(s)R(s) - D_m(s)) + S_o(s)D_o(s) + S_{io}(s)D_i(s)$$

$$U(s) = S_{uo}(s) \left(H(s)R(s) - D_m(s) - D_o(s) - G_o(s)D_i(s) \right)$$

$$T_o \triangleq \frac{G_o C}{1 + G_o C}$$

$$S_o \triangleq \frac{1}{1 + G_o C}$$

$$S_{uo} \triangleq \frac{C}{1 + G_o C}$$

$$S_{io} \triangleq \frac{G_o}{1 + G_o C}$$



5.1.1 执行器约束问题的提出

控制量增大原因分析 | 执行器所带来的设计约束问题

对于实际的执行器，其能力都是有限的，存在幅值和变化速率的约束（分别称为**饱和**与**转换速率**限制），忽视这些约束，可能带来严重的性能下降，甚至使系统失稳。



为了避免执行器饱和或转换速率限制引起的问题，通常采取一定的措施！



5.1.1 执行器约束问题的提出

事前事后

控制量增大原因分析 | 执行器所带来的设计约束问题

避免执行器饱和是在设计过程中必须考虑的问题

- 在控制系统的**方案设计阶段**，需要根据指标要求、信号分析等确定**执行器**应具备的能力并完成选型。
- 对于有些**控制问题**（比如**时间最优控制**问题），在问题描述时就需要明确执行器的约束，并在设计时加以考虑；否则，**可能会导致问题本身失去意义**。

$$\dot{x} = f(t, x, u), \quad x(t_0) = x_0 \quad u \in U \subset \mathbb{R}^m$$

$$J(u) = \frac{1}{2} \int_{t_0}^{t_f} (x^T Q x + u^T R u) dt$$

- 有些则是在**控制器设计之后**，针对饱和特性对控制器进行抗饱和设计，**提升性能，避免失稳**；



5.1 执行器的约束问题

5.1.1

执行器约束问题的提出

5.1.2

执行器约束的描述方法

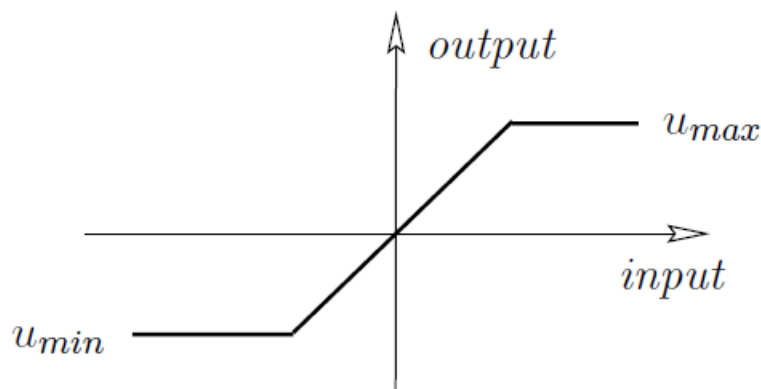
5.1.3

积分器的Windup问题



5.1.2 执行器约束的描述方法

执行器饱和模型 | 执行器转换速率限制模型 | 组合模型



$$u(t) = Sat\langle \hat{u}(t) \rangle \triangleq \begin{cases} u_{max} & \text{if } \hat{u}(t) > u_{max}, \\ \hat{u}(t) & \text{if } u_{min} \leq \hat{u}(t) \leq u_{max}, \\ u_{min} & \text{if } \hat{u}(t) < u_{min}. \end{cases}$$

u_{max} —— 执行器输出的最大幅值；

$u(t)$ —— 执行器实际输出；

u_{min} —— 执行器输出的最小幅值；

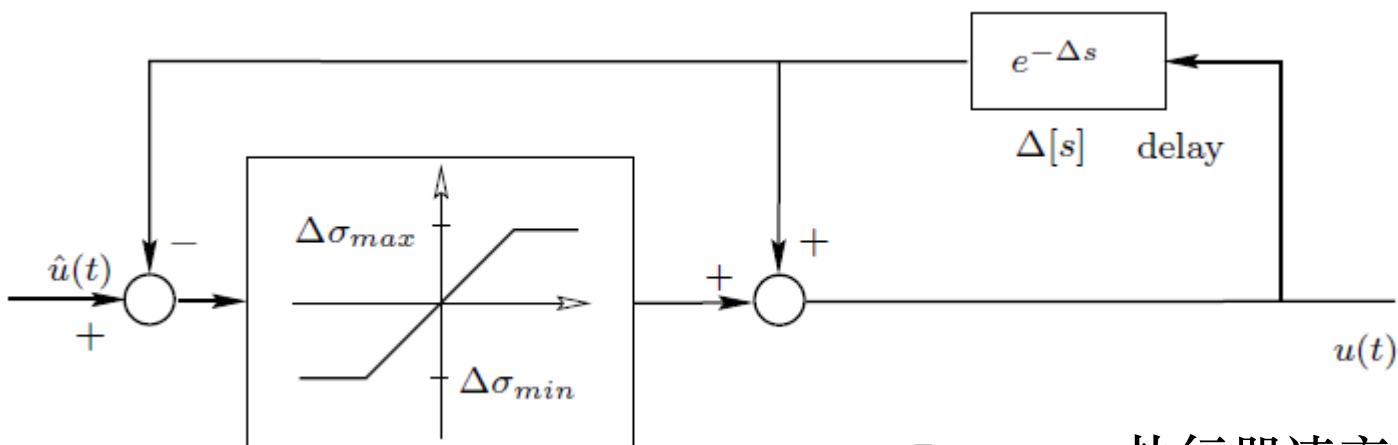
$\hat{u}(t)$ —— 执行器期望输出；

$Sat\langle \cdot \rangle$ —— 饱和函数。



5.1.2 执行器约束的描述方法

执行器饱和模型 | 执行器转换速率限制模型 | 组合模型



$$\dot{u}(t) = \text{Sat}\langle \dot{\hat{u}}(t) \rangle \triangleq \begin{cases} \sigma_{max} & \text{if } \dot{\hat{u}}(t) > \sigma_{max}, \\ \dot{\hat{u}}(t) & \text{if } \sigma_{min} \leq \dot{\hat{u}}(t) \leq \sigma_{max}, \\ \sigma_{min} & \text{if } \dot{\hat{u}}(t) < \sigma_{min}. \end{cases}$$

σ_{max} —— 执行器速率最大值；

σ_{min} —— 执行器速率最小值；

Δ —— 时延因子；

$\dot{u}(t)$ —— 执行器实际输出速率；

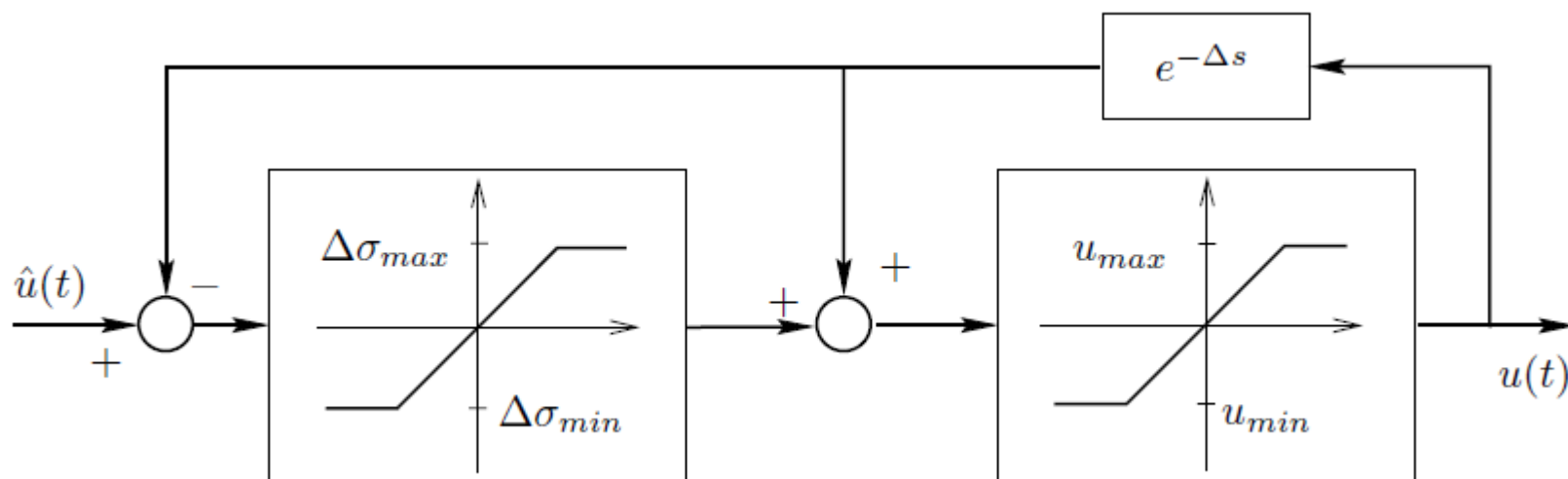
$\dot{\hat{u}}(t)$ —— 执行器期望输出速率；

$\text{Sat}\langle \cdot \rangle$ —— 饱和函数。



5.1.2 执行器约束的描述方法

执行器饱和模型 | 执行器转换速率限制模型 | 组合模型



u_{max} —— 执行器输出的最大幅值；

u_{min} —— 执行器输出的最小幅值；

$u(t)$ —— 执行器实际输出；

$\hat{u}(t)$ —— 执行器期望输出；

$Sat\langle\cdot\rangle$ —— 饱和函数。

σ_{max} —— 执行器速率最大值；

σ_{min} —— 执行器速率最小值；

Δ —— 时延因子；

$\dot{u}(t)$ —— 执行器实际输出速率；

$\dot{\hat{u}}(t)$ —— 执行器期望输出速率；

$Sat\langle\cdot\rangle$ —— 饱和函数。



请举出一些具有转换速率限制的执行器的例子

正常使用主观题需2.0以上版本雨课堂

作答



阶跃指令作用下，什么样的控制器更容易出现饱和现象

A

增益比较大的控制器

B

有滞后环节的控制

C

有纯微分环节的控制

D

有纯积分环节的控制

提交



5.1 执行器的约束问题

5.1.1

执行器约束问题的提出

5.1.2

执行器约束的描述方法

5.1.3

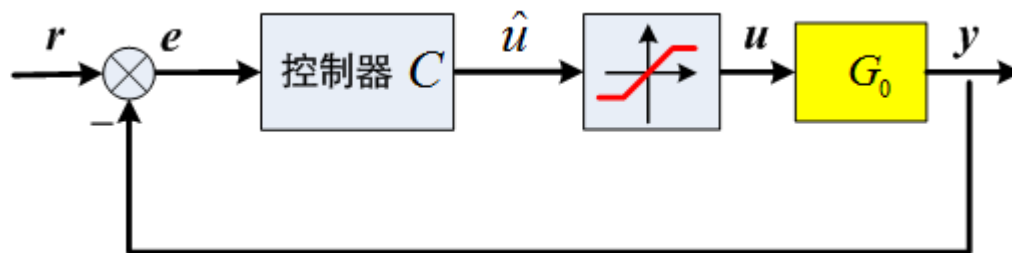
积分器的**Windup**问题



5.1.3 积分器的Windup问题

积分器带来的深度饱和问题 | 原因分析 | 解决办法

控制中经常使用**积分器**来消除系统的稳态误差，其前提是回路工作在线性范围内。当执行器达到其约束边界进入饱和后，在误差的作用下，积分器不断累积，控制器的输出 \hat{u} 可能会累积到很大的值，但执行器由于处于饱和状态而无响应，即 u 仍受到饱和约束的限制。控制器的输出 \hat{u} 回到饱和边界之内（线性范围）后，**这一积分值作为初始条件，会导致很大的暂态响应**。这一现象称为**Windup**，会严重影响系统的性能，甚至使系统失稳。





5.1.3 积分器的Windup问题

积分器带来的深度饱和问题 | 原因分析 | 解决办法

◆例2

被控对象

$$G_o(s) = \frac{2}{(s+1)(s+2)}$$

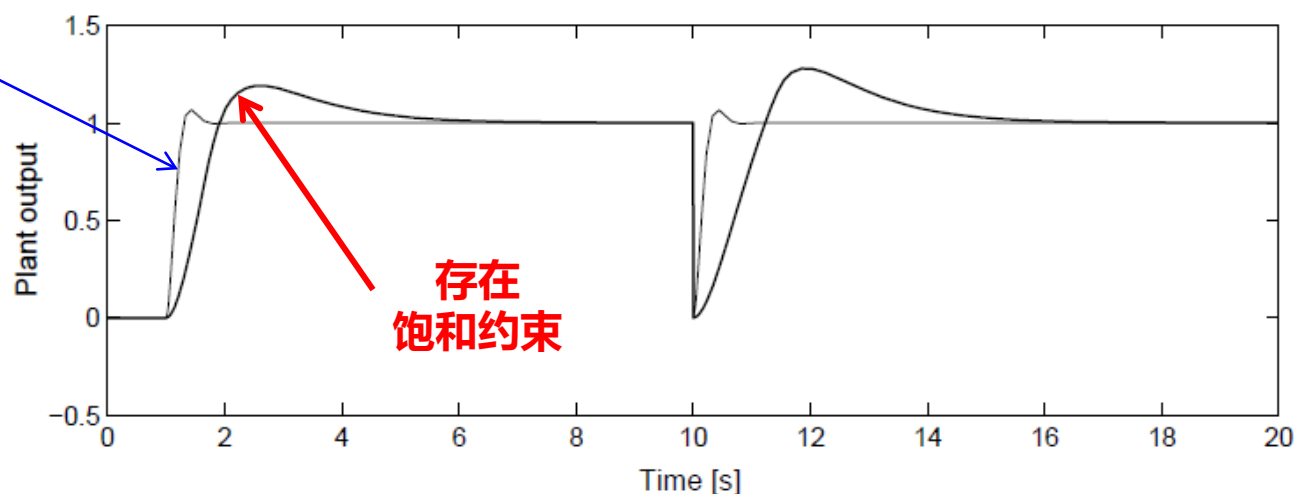
控制器

$$C(s) = \frac{50(s+1)(s+2)}{s(s+13)}$$

闭环传函

$$T_o(s) = \frac{100}{s^2 + 13s + 100}$$

不存在
饱和约束

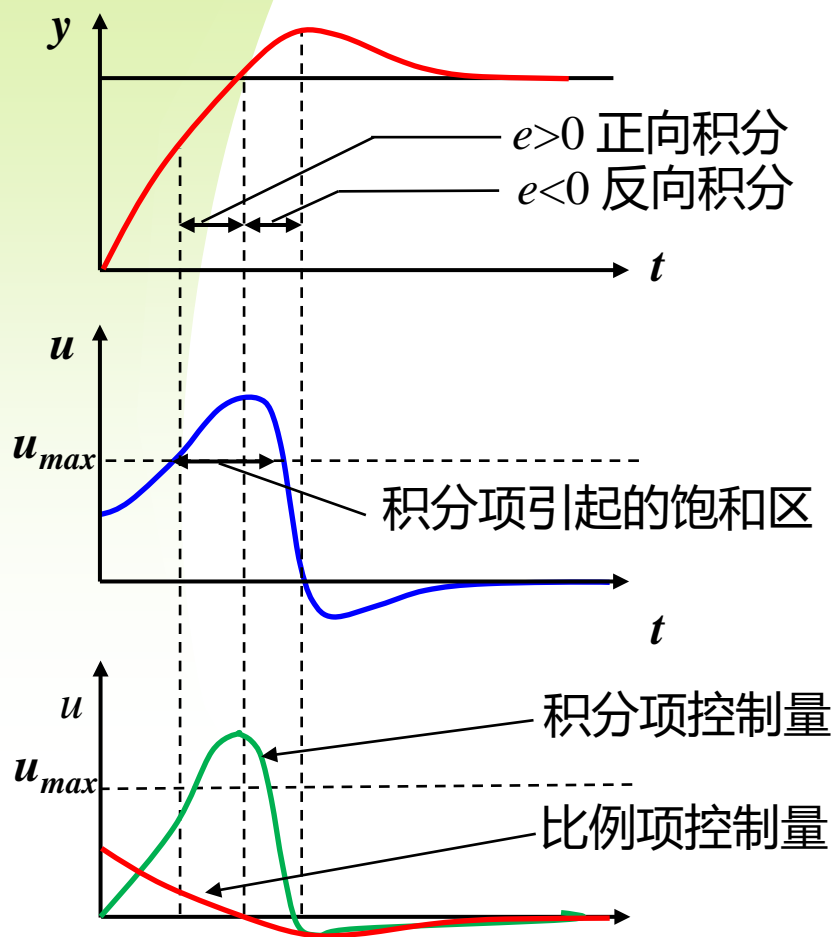


在1秒时施加单位阶跃输入信号，在10秒时存在一个负向单位阶跃输出扰动信号。执行器的线性工作范围是 $[-3, 3]$ 。



5.1.3 积分器的Windup问题

积分器带来的深度饱和问题 | 原因分析 | 解决办法



- 当 $e(t) > 0$ 时，即积分器输入符号不变时，积分器的输出会持续增大，时间越长输出越大；
- 当 $e(t) < 0$ 时，即积分器误差符号改变时，由于积分器的初值较大，需要较长时间才能改变符号；
- 由于积分器的上述特性，积分器的存在很容易使系统进入深度饱和，使系统进入开环状态，失去对误差的调节能力



如何从控制上解决积分器饱和（Windup）问题？

正常使用主观题需2.0以上版本雨课堂



5.1.3 积分器的Windup问题

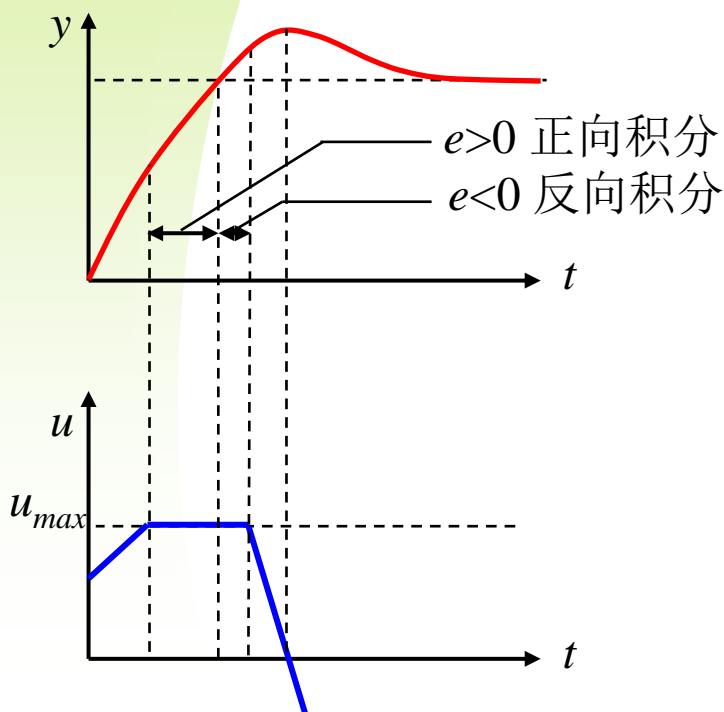
积分器带来的深度饱和问题 | 原因分析 | 解决办法

➤ 积分分离法

- **方法：** $|e| >$ 设定限值时，改用纯P调节
- **作用：** 既不会积分饱和又能在小偏差时利用积分作用消除偏差

➤ 遇限削弱积分法

- **方法：** $u_I >$ 设定限值时，只累加负偏差，反之亦然
- **作用：** 可避免控制量长时间停留在饱和区



控制方法：当执行器达到约束的边界时切断积分作用！



本章主要内容

A1

执行器约束问题

A2

Anti-Windup设计

A3

Anti-Windup控制器的一般形式



5.2 Anti-Windup设计

5.2.1

Anti-Windup设计策略

5.2.2

Anti-Windup设计原理分析

5.2.3

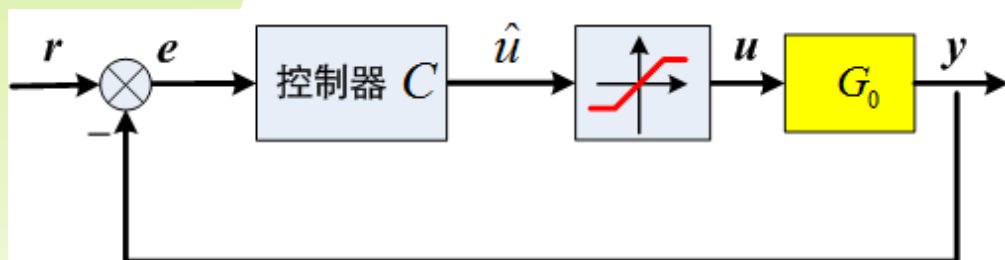
Anti-Windup的多种实现形式



5.2.1 Anti-Windup的设计策略

反馈

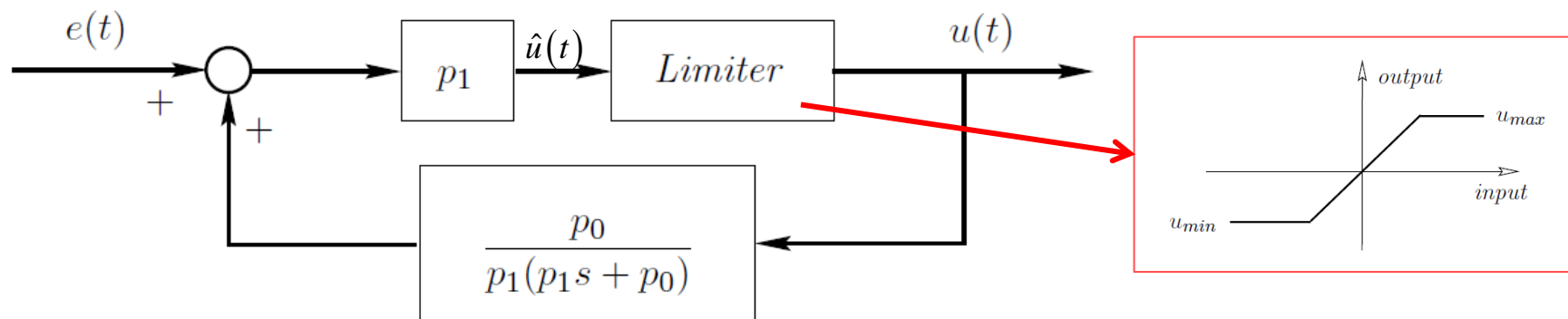
PI控制器的Anti-Windup设计 | Anti-Windup的基本结构 | 示例



线性工作范围内的传递函数

$$C(s) = \frac{p_1 s + p_0}{s}$$

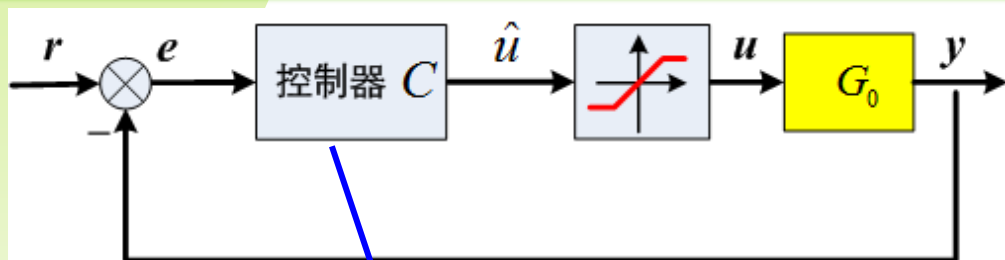
- 在线性工作范围内，实现比例+积分的作用，性能保持不变
- 而达到约束边界时，切除了积分作用，避免了Windup





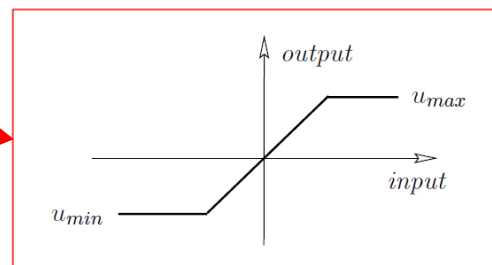
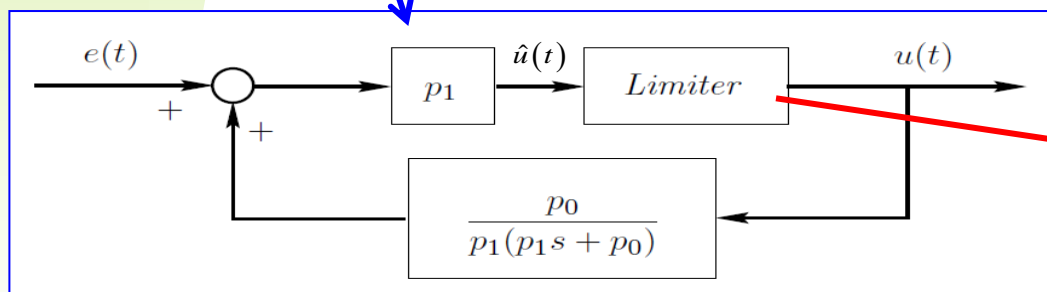
5.2.1 Anti-Windup的设计策略

PI控制器的Anti-Windup设计 | Anti-Windup的基本结构 | 示例



线性工作范围内的PI传递函数

$$C(s) = \frac{p_1 s + p_0}{s}$$



重新推导E到U的传递函数

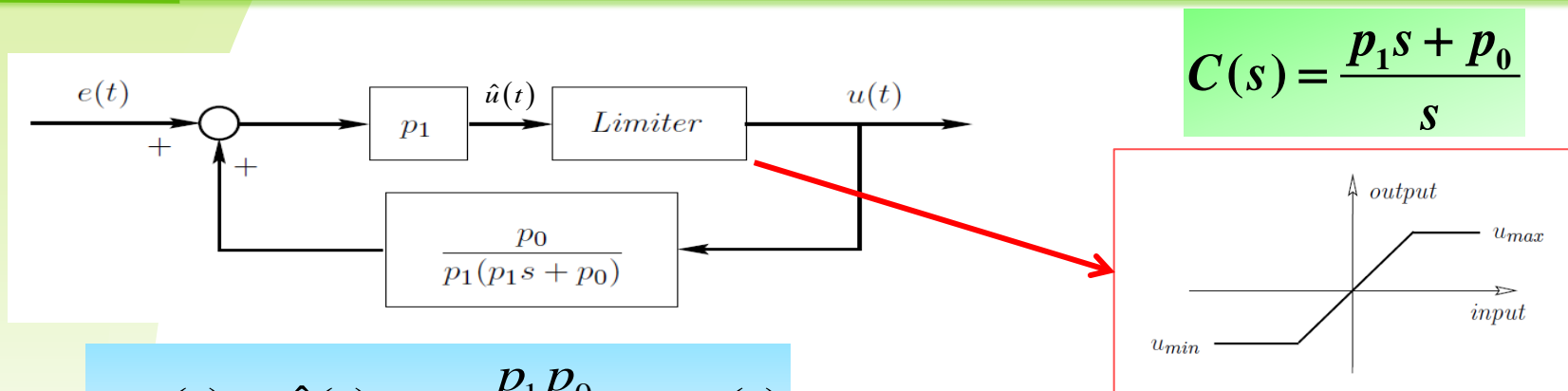
$$\left[e(t) + \frac{p_0}{p_1(p_1 s + p_0)} u(t) \right] p_1 = \hat{u}(t)$$

$$p_1 e(t) = \hat{u}(t) - \frac{p_1 p_0}{p_1(p_1 s + p_0)} u(t)$$

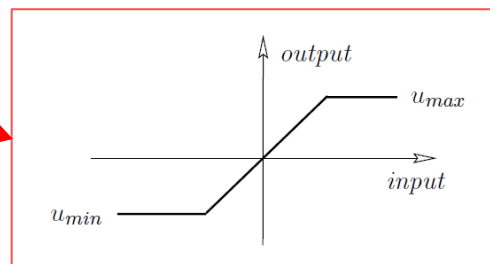


5.2.1 Anti-Windup的设计策略

PI控制器的Anti-Windup设计 | Anti-Windup的基本结构 | 示例



$$C(s) = \frac{p_1s + p_0}{s}$$



$$p_1 e(t) = \hat{u}(t) - \frac{p_1 p_0}{p_1(p_1s + p_0)} u(t)$$

线性区 $u(t) = \hat{u}(t)$ if $u_{\min} \leq \hat{u}(t) \leq u_{\max}$

$$p_1 e(t) = \frac{p_1 p_1 s}{p_1(p_1s + p_0)} u(t)$$



$$\frac{U(s)}{E(s)} = \frac{p_1s + p_0}{s}$$

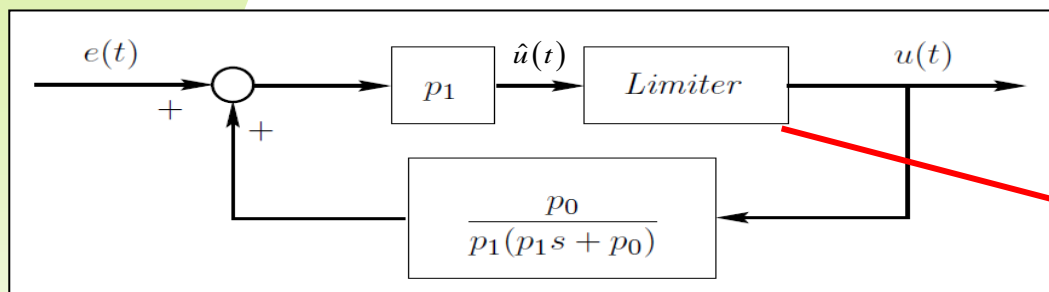
$$u(t) = \text{Sat}(\hat{u}(t)) \triangleq \begin{cases} u_{\max} & \text{if } \hat{u}(t) > u_{\max}, \\ \hat{u}(t) & \text{if } u_{\min} \leq \hat{u}(t) \leq u_{\max}, \\ u_{\min} & \text{if } \hat{u}(t) < u_{\min}. \end{cases}$$

仍然是PI控制器（不改变线性区控制器的特性）

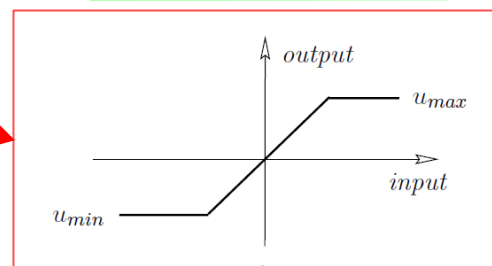


5.2.1 Anti-Windup的设计策略

PI控制器的Anti-Windup设计 | Anti-Windup的基本结构 | 示例



$$C(s) = \frac{p_1 s + p_0}{s}$$



$$p_1 e(t) = \hat{u}(t) - \frac{p_1 p_0}{p_1(p_1 s + p_0)} u(t)$$

饱和区 $u(t) = u_{\max}$ if $\hat{u}(t) \geq u_{\max}$

$$p_1 e(t) + \frac{p_1 p_0}{p_1(p_1 s + p_0)} u_{\max} = \hat{u}(t)$$



$$\hat{u}(t) = p_1 e(t) + u_{\max}$$

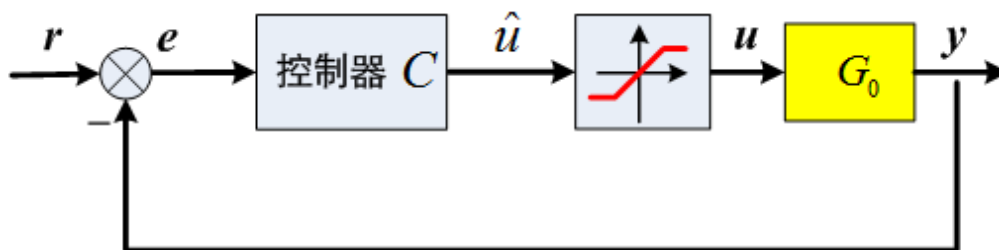
$$u(t) = \text{Sat}\langle \hat{u}(t) \rangle \triangleq \begin{cases} u_{\max} & \text{if } \hat{u}(t) > u_{\max}, \\ \hat{u}(t) & \text{if } u_{\min} \leq \hat{u}(t) \leq u_{\max}, \\ u_{\min} & \text{if } \hat{u}(t) < u_{\min}. \end{cases}$$

此时，控制量为误差的比例项加一个常值。
积分器停止工作，不会出现Windup现象



5.2.1 Anti-Windup的设计策略

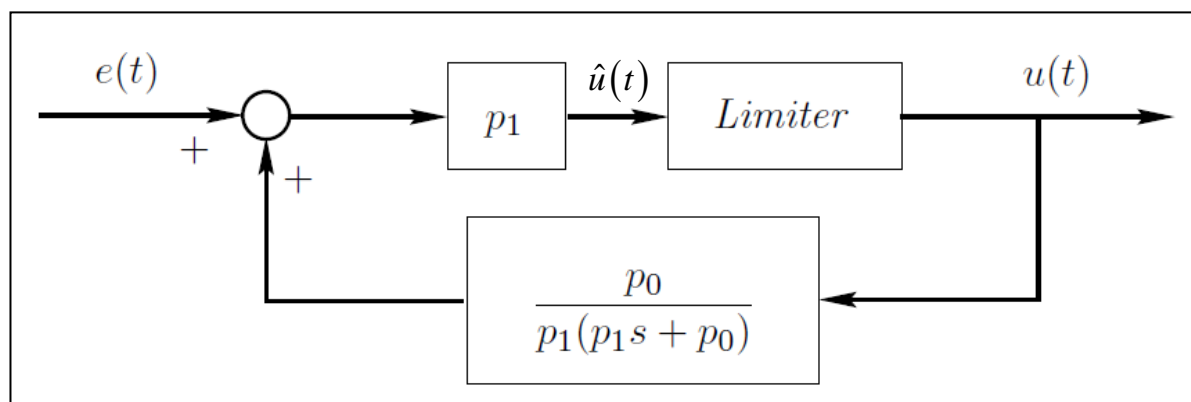
PI控制器的Anti-Windup设计 | Anti-Windup的基本结构 | 示例



对于一般的控制器（非PI控制器），如何进行Anti-Windup设计？



能从前面的PI控制器Anti-Windup设计中，总结出一般控制器的Anti-Windup方法吗？



对于一个给定的控制器，如何应该进行拆分？

正常使用主观题需2.0以上版本雨课堂

作答



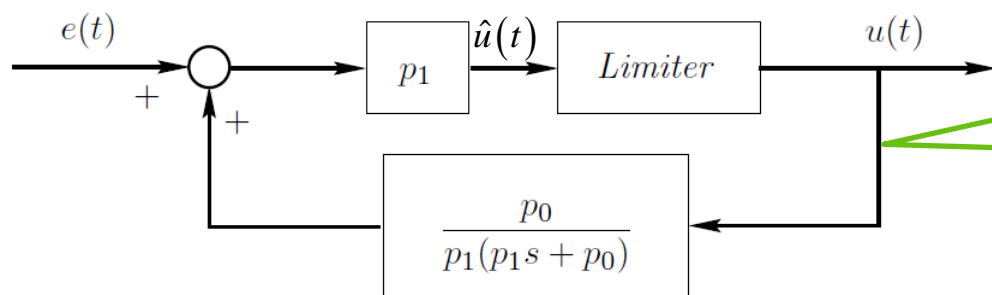
5.2.1 Anti-Windup的设计策略

PI控制器的Anti-Windup设计 | Anti-Windup的基本结构 | 示例

——总结Anti-Windup设计策略

$$C(s) = \frac{p_1 s + p_0}{s}$$

- (1) 控制器的动态由对象的**实际输入信号**（执行器的实际输出）来驱动；
- (2) 由对象的实际输入信号驱动时，控制器的**动态是稳定的**。



执行器输出达到约束边界时，控制器的积分作用被切除！



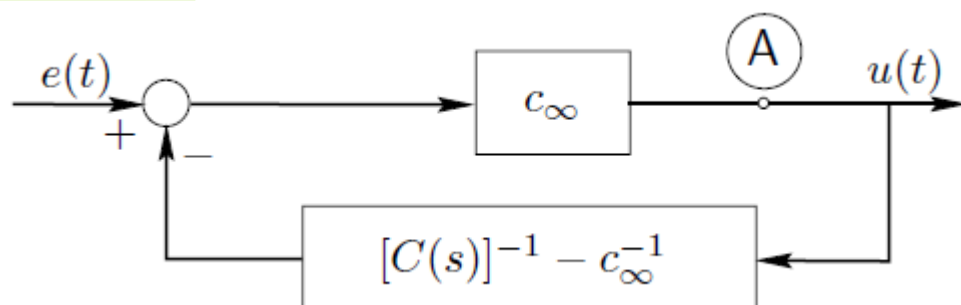
5.2.1 Anti-Windup的设计策略

特殊到一般

PI控制器的Anti-Windup设计 | Anti-Windup的基本结构 | 示例

假设控制器 $C(s)$ 是**双正则最小相位的**，将其分解为**比例项**和**严格正则项**：

$$C(s) = c_{\infty} + \bar{C}(s)$$



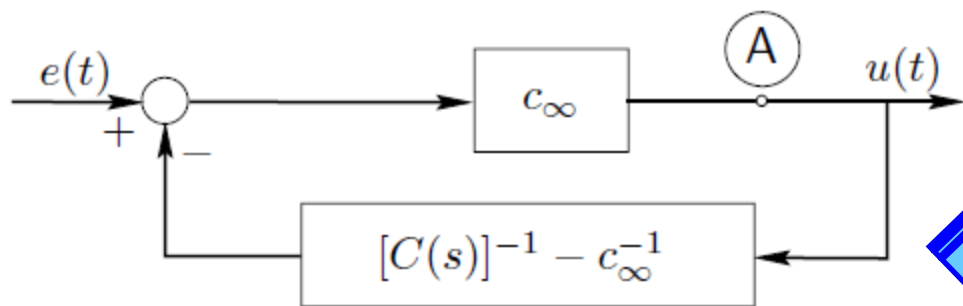
$$\begin{aligned}\frac{U(s)}{E(s)} &= \frac{c_{\infty}}{1 + ([C(s)]^{-1} - c_{\infty}^{-1})c_{\infty}} \\ &= \frac{c_{\infty}}{[C(s)]^{-1}c_{\infty}} \\ &= C(s)\end{aligned}$$

严格正则的最小相位控制器可通过适当**添加远离虚轴的最小相位零点**变为双正则的形式。



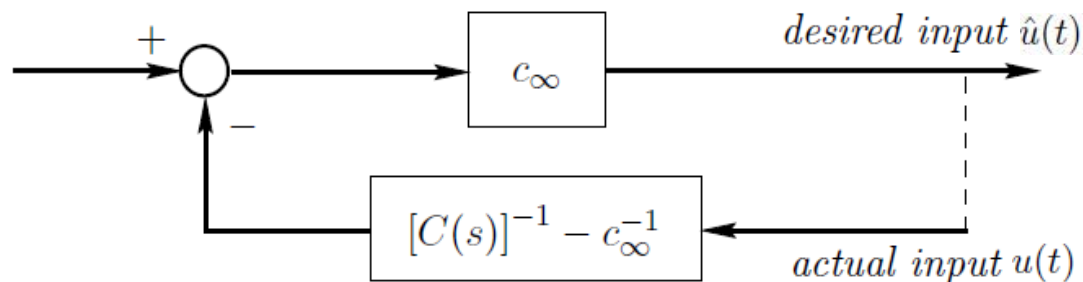
5.2.1 Anti-Windup的设计策略

PI控制器的Anti-Windup设计 | Anti-Windup的基本结构 | 示例



双正则控制器:

$$C(s) = c_\infty + \bar{C}(s)$$



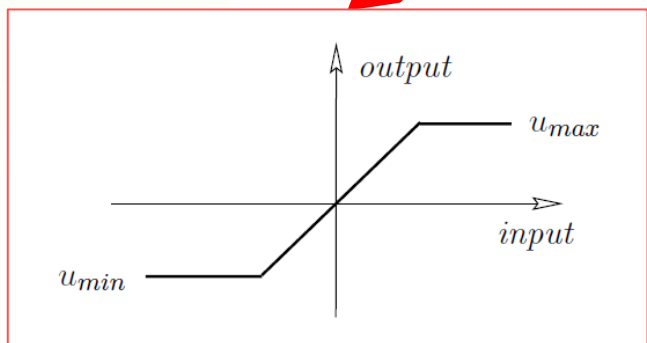
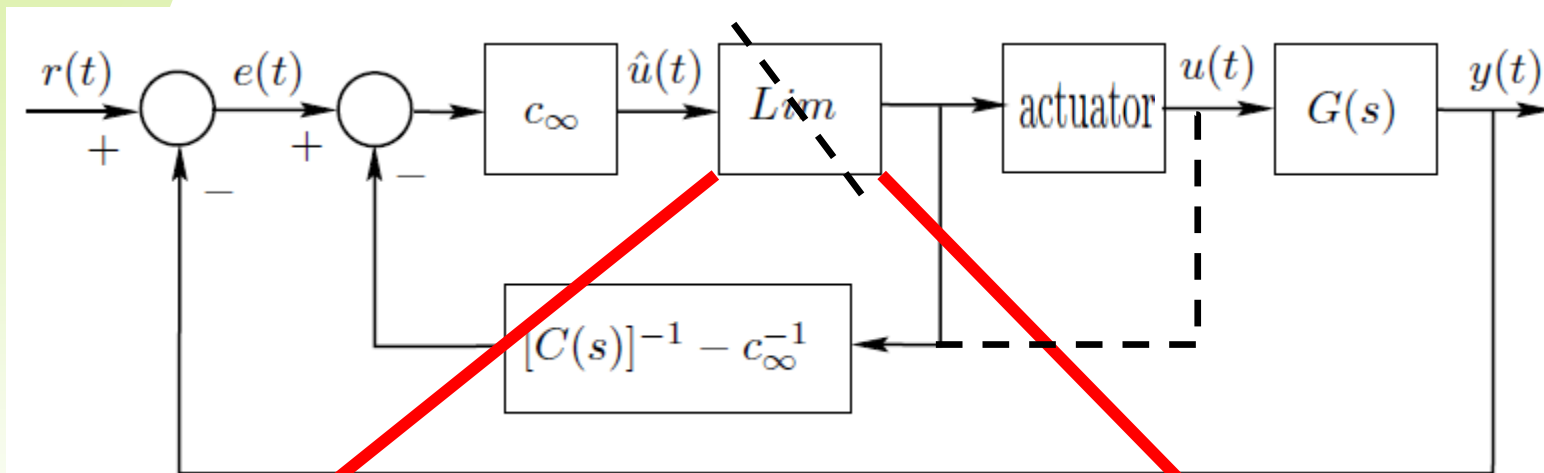
设计策略:

- (1) 控制器的动态由对象的**实际输入信号**来驱动;
- (2) 由对象的实际输入信号驱动时, 控制器的**动态是稳定的**。

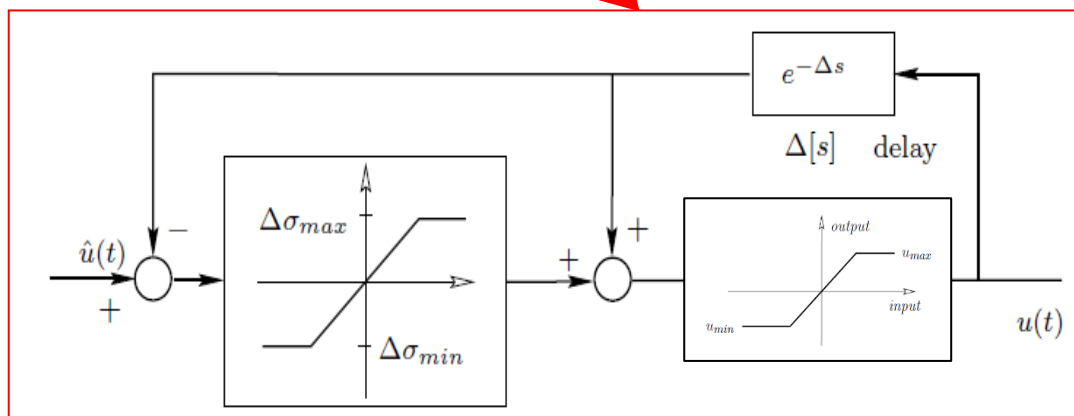


5.2.1 Anti-Windup的设计策略

PI控制器的Anti-Windup设计 | Anti-Windup的基本结构 | 示例



or





5.2.1 Anti-Windup的设计策略

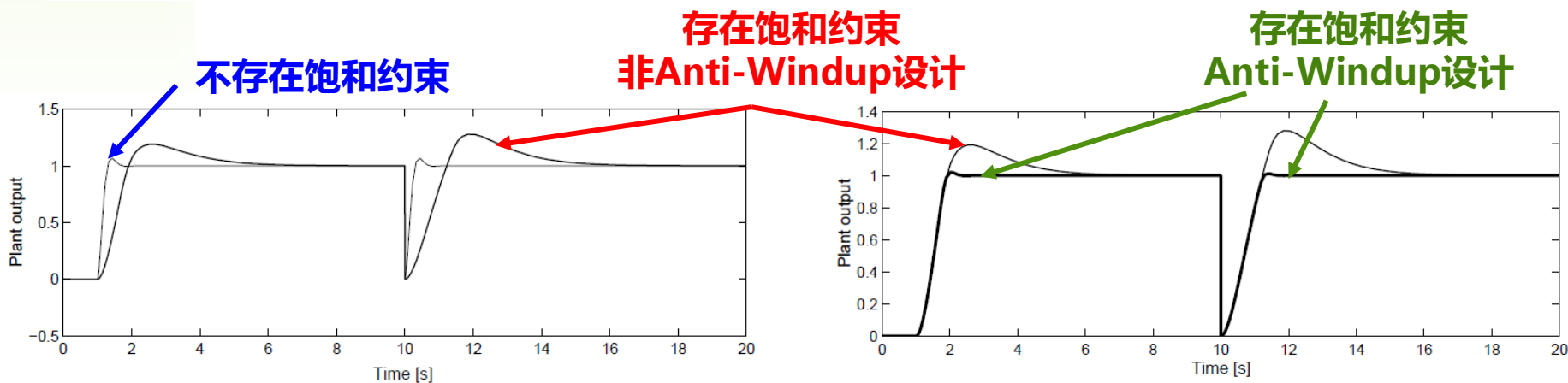
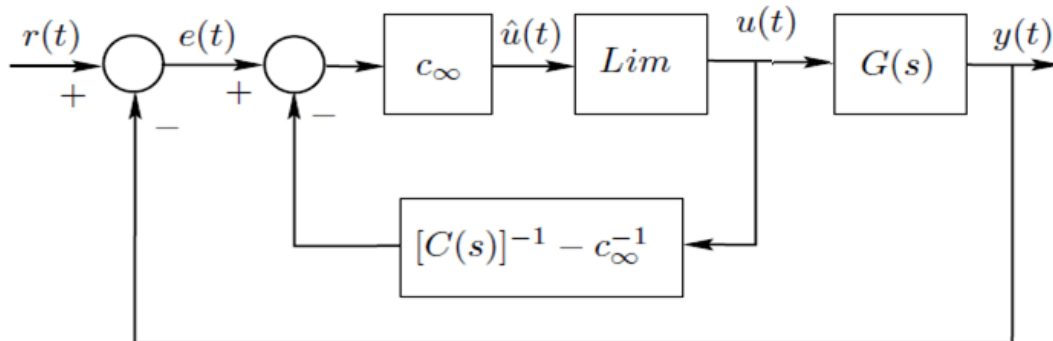
PI控制器的Anti-Windup设计 | Anti-Windup的基本结构 | 示例

◆ 例2 Anti-Windup设计（含有执行器幅值约束）

$$G_o(s) = \frac{2}{(s+1)(s+2)}$$

$$C(s) = \frac{50(s+1)(s+2)}{s(s+13)}$$

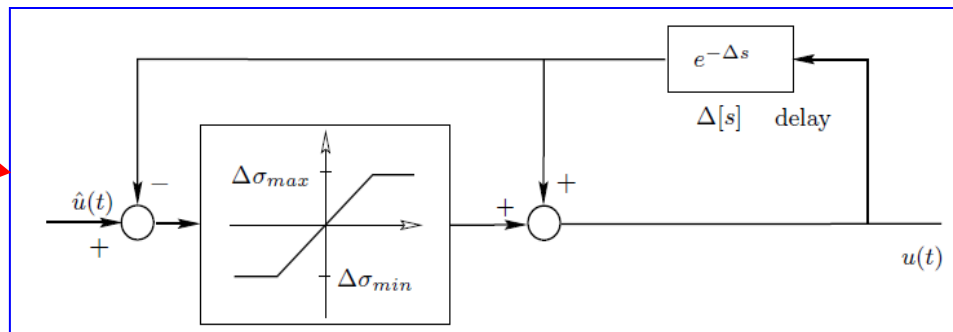
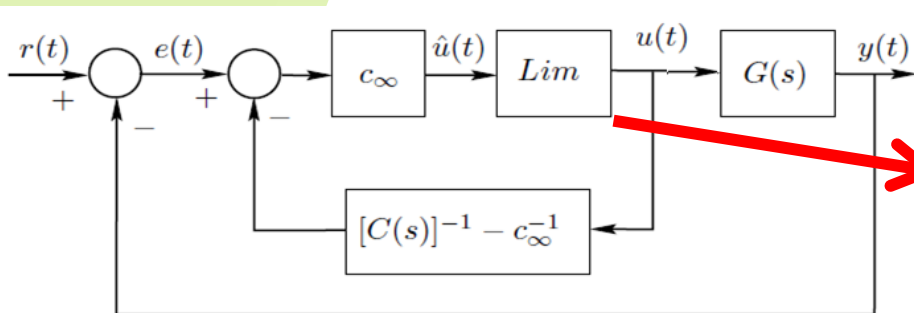
$$T_o(s) = \frac{100}{s^2 + 13s + 100}$$





5.2.1 Anti-Windup的设计策略

PI控制器的Anti-Windup设计 | Anti-Windup的基本结构 | 示例



对象模型:

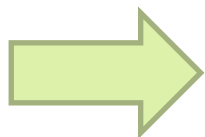
$$Y(s) = e^{-s} \left(\frac{1}{(s+1)^2} U(s) + D_g(s) \right)$$

假设执行器的转换速率小于等于 $0.2s^{-1}$ 。

$$C(s) = K_p \left(1 + \frac{1}{T_r s} \right)$$

$$K_p = 0.5$$

$$T_r = 1.5[s]$$



$$c_{\infty} = K_p = 0.5$$

$$[C(s)]^{-1} - c_{\infty}^{-1} = -\frac{1}{K_p(T_r s + 1)} = -\frac{2}{(1.5s + 1)}$$

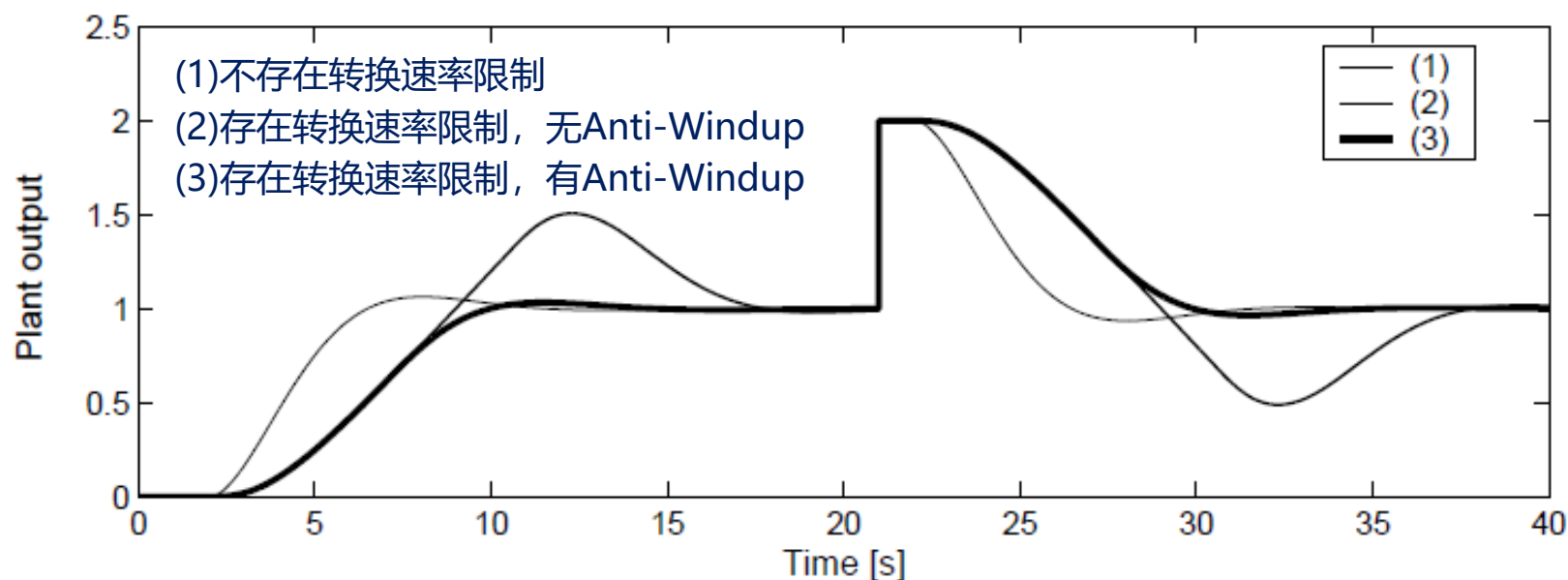


5.2.1 Anti-Windup的设计策略

PI控制器的Anti-Windup设计 | Anti-Windup的基本结构 | 示例

$$Y(s) = e^{-s} \left(\frac{1}{(s+1)^2} U(s) + D_g(s) \right) \quad c_\infty = K_p = 0.5 \quad [C(s)]^{-1} - c_\infty^{-1} = -\frac{2}{(1.5s+1)}$$

在1s时输入单位阶跃参考信号，在20s时加入输出端单位阶跃扰动输入。





如果控制器不满足双正则，非最小相位，还有其
他的方法进行Anti-Windup设计吗？

正常使用主观题需2.0以上版本雨课堂



5.2 Anti-Windup设计

5.2.1

Anti-Windup设计策略

5.2.2

Anti-Windup的设计原理分析

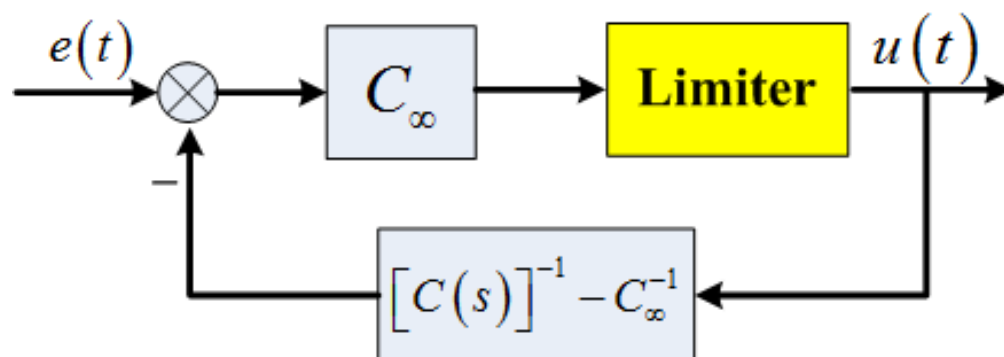
5.2.3

Anti-Windup的多种实现形式



5.2.3 Anti-Windup的多种实现形式

Anti-Windup设计得到了广泛研究，已有多种关于抗饱和的设计方法，这里只列举两种简单的其他形式的Anti-Windup设计方法。



Anti-Windup 控制器基本结构

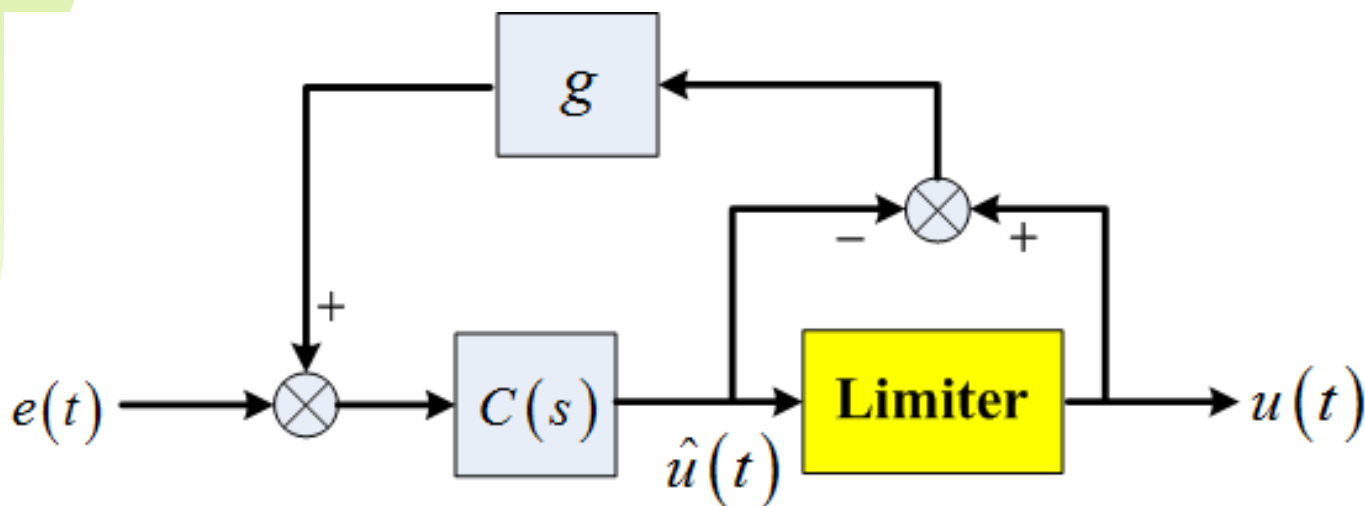
适用条件：控制器双正则，最小相位



5.2.3 Anti-Windup的多种实现形式

信息

Anti-Windup一般形式（第一种） | Anti-Windup一般形式（第二种）



Anti-Windup 控制器控制器的—般形式——第一种

g : 静态增益

控制器无双正则、最小相位要求

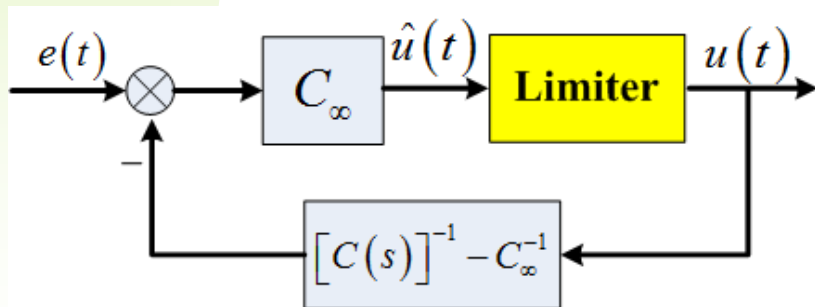


5.2.3 Anti-Windup的多种实现形式

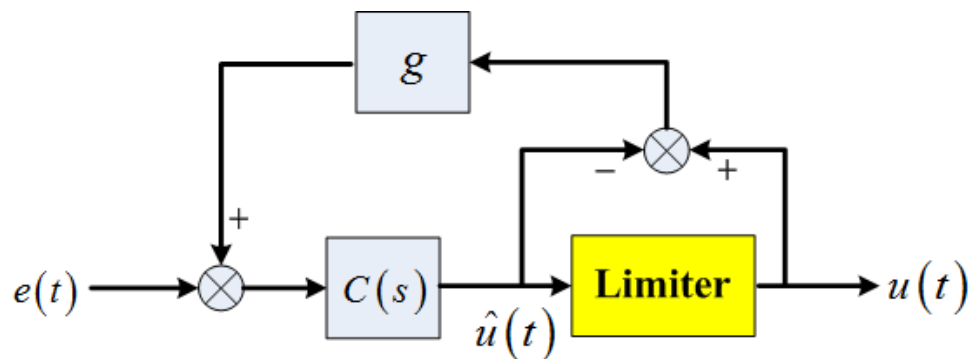
Anti-Windup一般形式（第一种） | Anti-Windup一般形式（第二种）

◆ 例4——两种Anti-Windup控制器对比分析

考虑积分型控制器 $C(s) = \frac{k}{s}$



(a) Anti-Windup基本结构



(b) Anti-Windup一般形式-第一种



5.2.3 Anti-Windup的多种实现形式

近似

Anti-Windup一般形式（第一种） | Anti-Windup一般形式（第二种）

◆ 例4——两种Anti-Windup控制器对比分析

$$C(s) = \frac{k}{s}$$

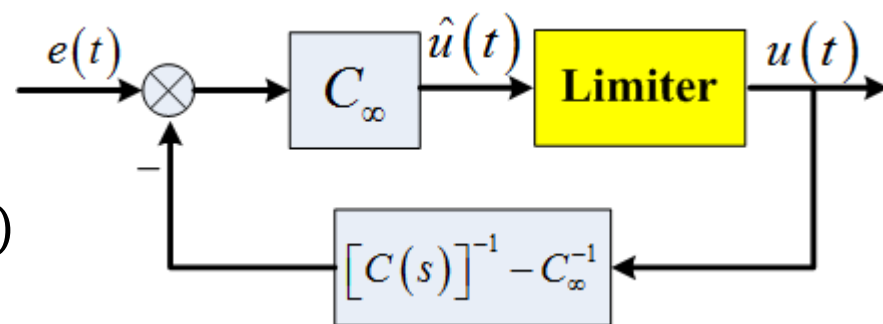
通过添加一个远离虚轴、稳定的零点 $\varepsilon s + 1$, 可以变为近似等价的双

正则最小相位的形式: $C(s) = \frac{k(\varepsilon s + 1)}{s}$

$$\hat{u}(t) = C_{\infty} \left[e(t) - \left(C(s)^{-1} - C_{\infty}^{-1} \right) u(t) \right]$$

$$= u(t) + C_{\infty} e(t) - C_{\infty} C(s)^{-1} u(t)$$

$$= u(t) + \left[k\varepsilon e(t) - \frac{\varepsilon s}{\varepsilon s + 1} u(t) \right]$$



(a) Anti-Windup基本结构



5.2.3 Anti-Windup的多种实现形式

Anti-Windup一般形式（第一种） | Anti-Windup一般形式（第二种）

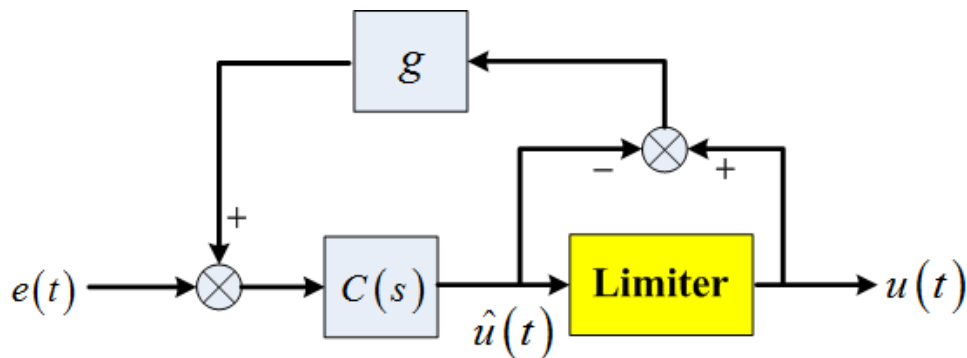
◆ 例4——两种Anti-Windup控制器对比分析

$$\hat{u}(t) = C(s) \{ e(t) + g [u(t) - \hat{u}(t)] \} = C(s) e(t) + C(s) g u(t) - C(s) g \hat{u}(t)$$

$$\hat{u}(t) + \frac{gk}{s} \hat{u}(t) = \frac{k}{s} e(t) + \frac{gk}{s} u(t)$$

$$\hat{u}(t) = \frac{gk}{s + gk} u(t) + \frac{k}{s + gk} e(t)$$

$$\hat{u}(t) = u(t) + \left[\frac{k}{s + gk} e(t) - \frac{s}{s + gk} u(t) \right]$$



(b) Anti-Windup一般形式—第一种

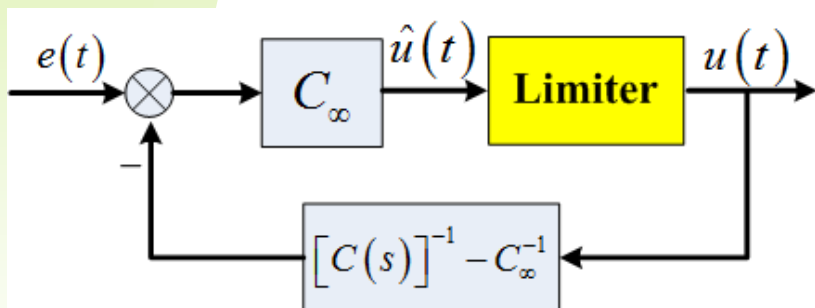


5.2.3 Anti-Windup的多种实现形式

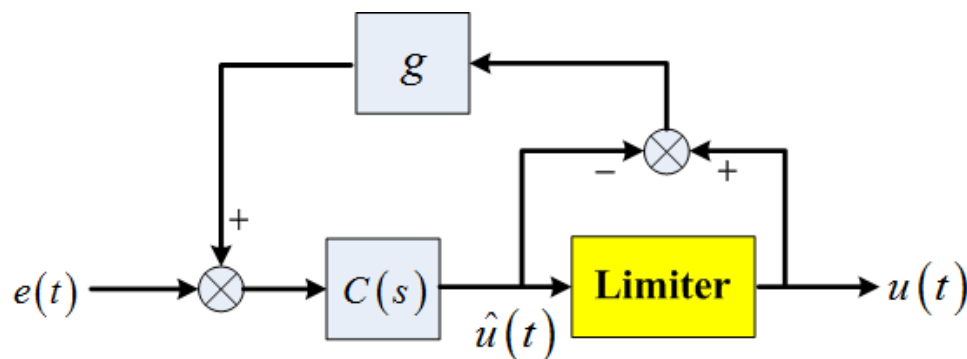
等价

Anti-Windup一般形式（第一种） | Anti-Windup一般形式（第二种）

◆ 例4——两种Anti-Windup控制器对比分析



(a) Anti-Windup基本结构



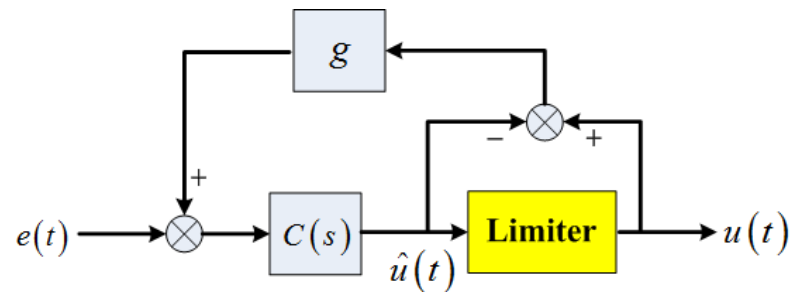
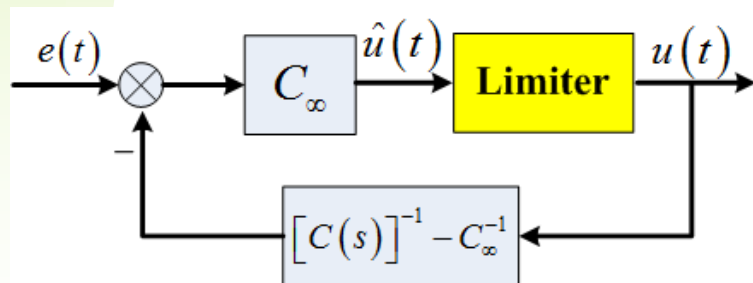
(b) Anti-Windup一般形式—第一种

$$\hat{u}(t) = u(t) + \left[k\varepsilon e(t) - \frac{\varepsilon s}{\varepsilon s + 1} u(t) \right] \quad \xleftrightarrow{\varepsilon = \frac{1}{gk}} \quad \hat{u}(t) = u(t) + \left[\frac{k}{s + kg} e(t) - \frac{s}{s + gk} u(t) \right]$$

近似等价



你还能想到其他形式的Anti-Windup设计吗？



正常使用主观题需2.0以上版本雨课堂



5.2.3 Anti-Windup的多种实现形式

多样

Anti-Windup一般形式（第一种） | Anti-Windup一般形式（第二种）

控制器 $C(s) = \frac{P(s)}{L(s)}$ ，其中

$$L(s) = s^n + l_{n-1}s^{n-1} + \cdots + l_0$$

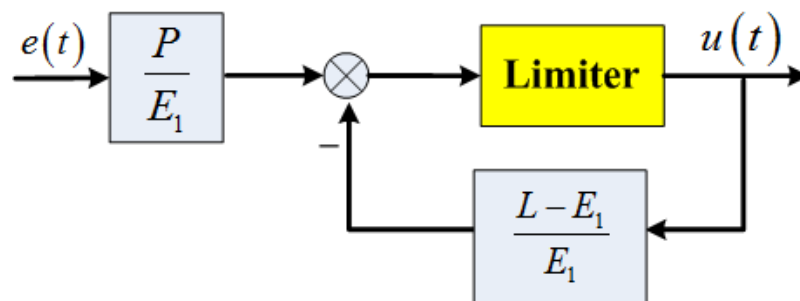
$$P(s) = p_n s^n + p_{n-1}s^{n-1} + \cdots + p_0$$

闭环极点 $s = -\alpha_i \quad i = 1 \cdots N > n$

$E_1(s)$ 为 n 阶（与 $L(s)$ 的阶次相同）

的首一的Hurwitz多项式：

$$E_1 = (s + \alpha_{m_1})(s + \alpha_{m_2}) \cdots (s + \alpha_{m_n})$$



Anti-Windup一般形式——第二种

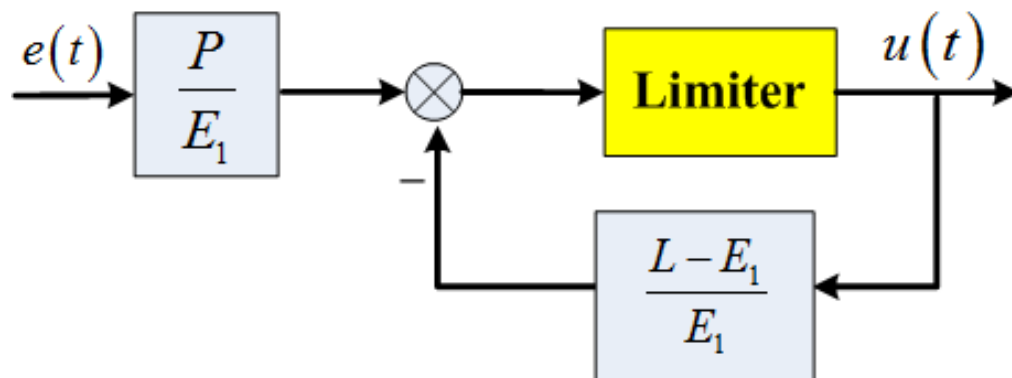
无限制条件，适用于：
非最小相位控制器、
不稳定控制器、
⋮



5.2.3 Anti-Windup的多种实现形式

Anti-Windup一般形式（第一种） | Anti-Windup一般形式（第二种）

从原理上讲， $E_1(s)$ 可选择为任意的 n 阶首一Hurwitz多项式，但不同的选择会导致控制性能的差异。一种经验的选择方法是从闭环极点中选择(n)个最快的极点作为 $E_1(s)$ 的根，大多数情况下可获得满意的性能。



Anti-Windup一般形式——第二种

$$E_1 = (s + \alpha_{m_1})(s + \alpha_{m_2}) + \cdots + (s + \alpha_{m_n})$$

闭环极点： $s = -\alpha_i \quad i = 1 \cdots N > n$



5.2.3 Anti-Windup的多种实现形式

Anti-Windup一般形式（第一种） | Anti-Windup一般形式（第二种）

◆ 例5

$$C(s) = \frac{P(s)}{L(s)}$$

控制器 $L(s) = s$

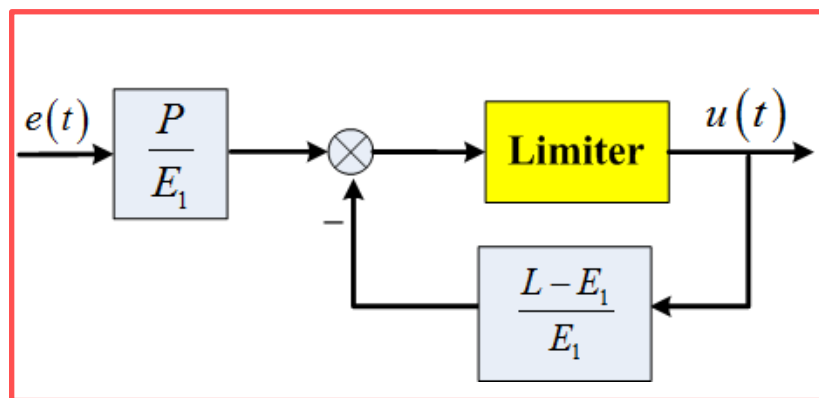
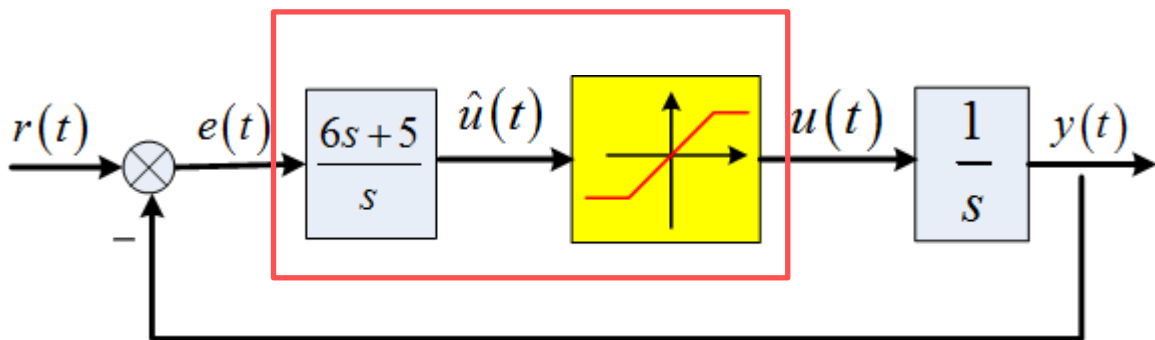
$$P(s) = 6s + 5$$

执行器限幅

$$u_{\max} = 1 \quad u_{\min} = -1$$

闭环极点

$$s_1 = -1, \quad s_2 = -5$$

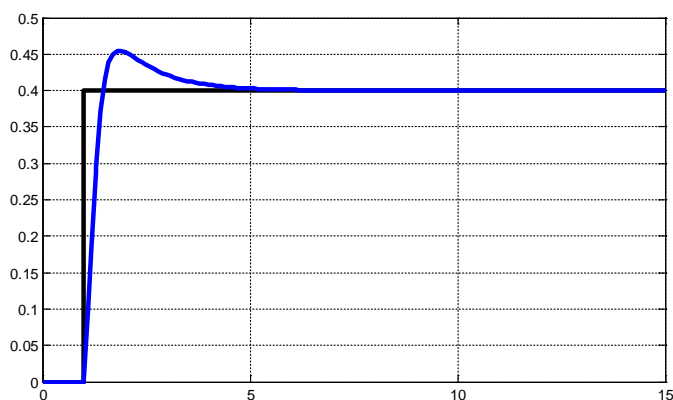
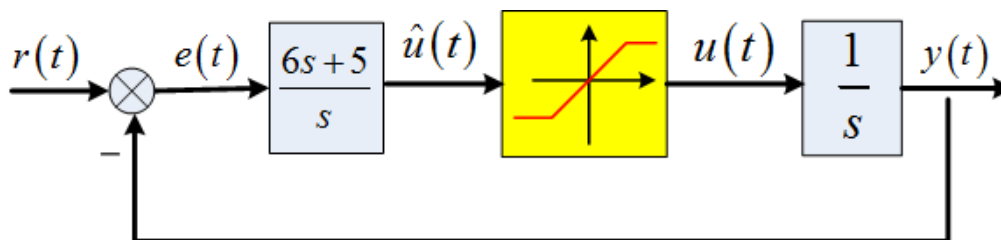




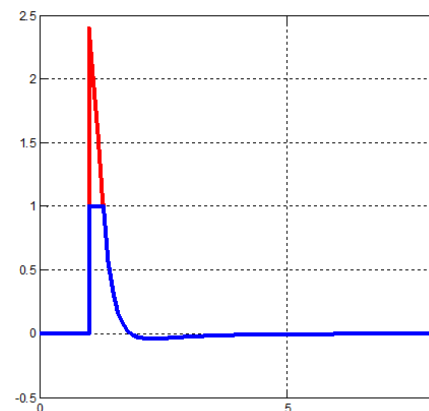
5.2.3 Anti-Windup的多种实现形式

Anti-Windup一般形式（第一种） | Anti-Windup一般形式（第二种）

◆ 例5 非Anti-Windup 设计仿真结果



阶跃响应 ($r=0.4$)



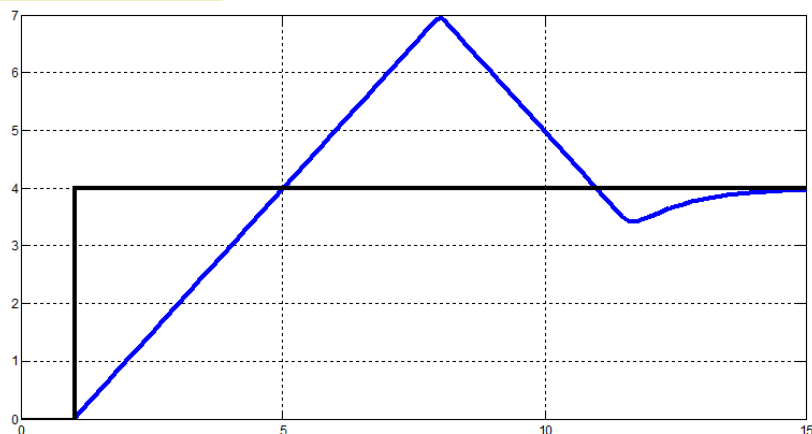
u & \hat{u}



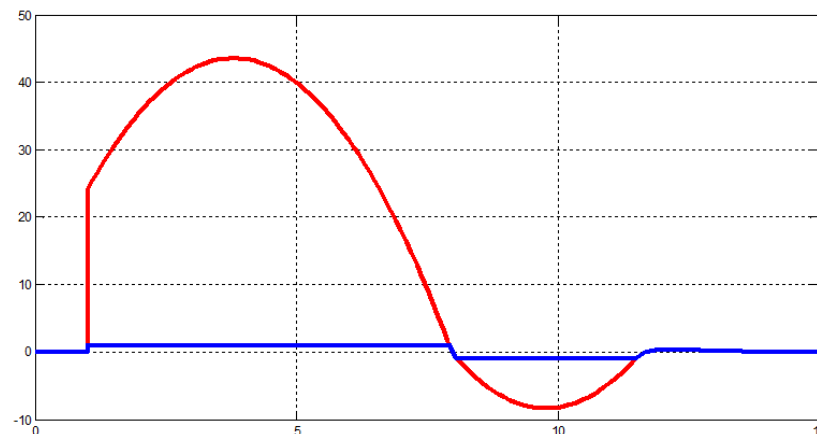
5.2.3 Anti-Windup的多种实现形式

Anti-Windup一般形式（第一种） | Anti-Windup一般形式（第二种）

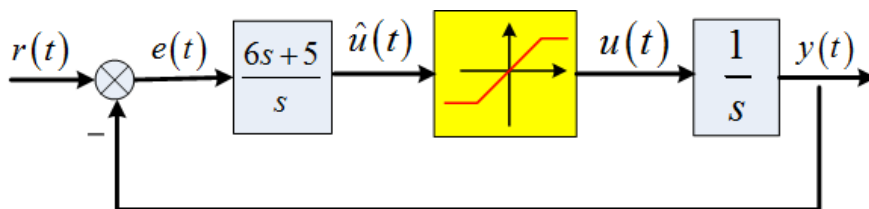
◆ 例5 非Anti-Windup 设计仿真结果



阶跃响应 ($r=4$)



u & \hat{u}



控制系统框图
(非Anti-Windup控制器)



5.2.3 Anti-Windup的多种实现形式

Anti-Windup一般形式（第一种） | Anti-Windup一般形式（第二种）

◆ 例5 Anti-Windup 设计

控制器

$$L(s) = s$$

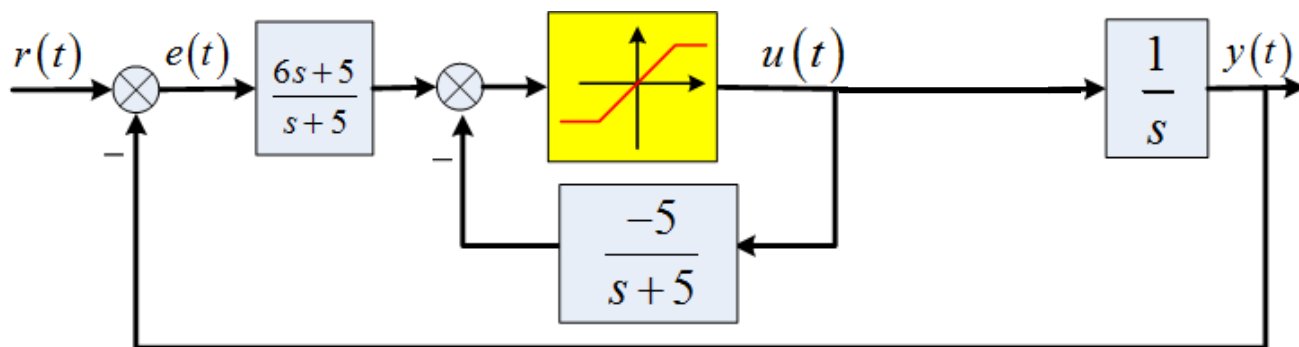
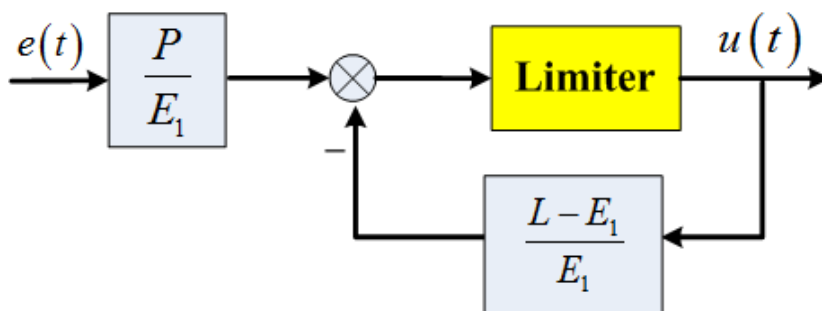
$$P(s) = 6s + 5$$

选取

$$E_1(s) = s + 5$$

$$\frac{P(s)}{E_1(s)} = \frac{6s + 5}{s + 5}$$

$$\frac{L(s) - E_1(s)}{E_1(s)} = \frac{-5}{s + 5}$$



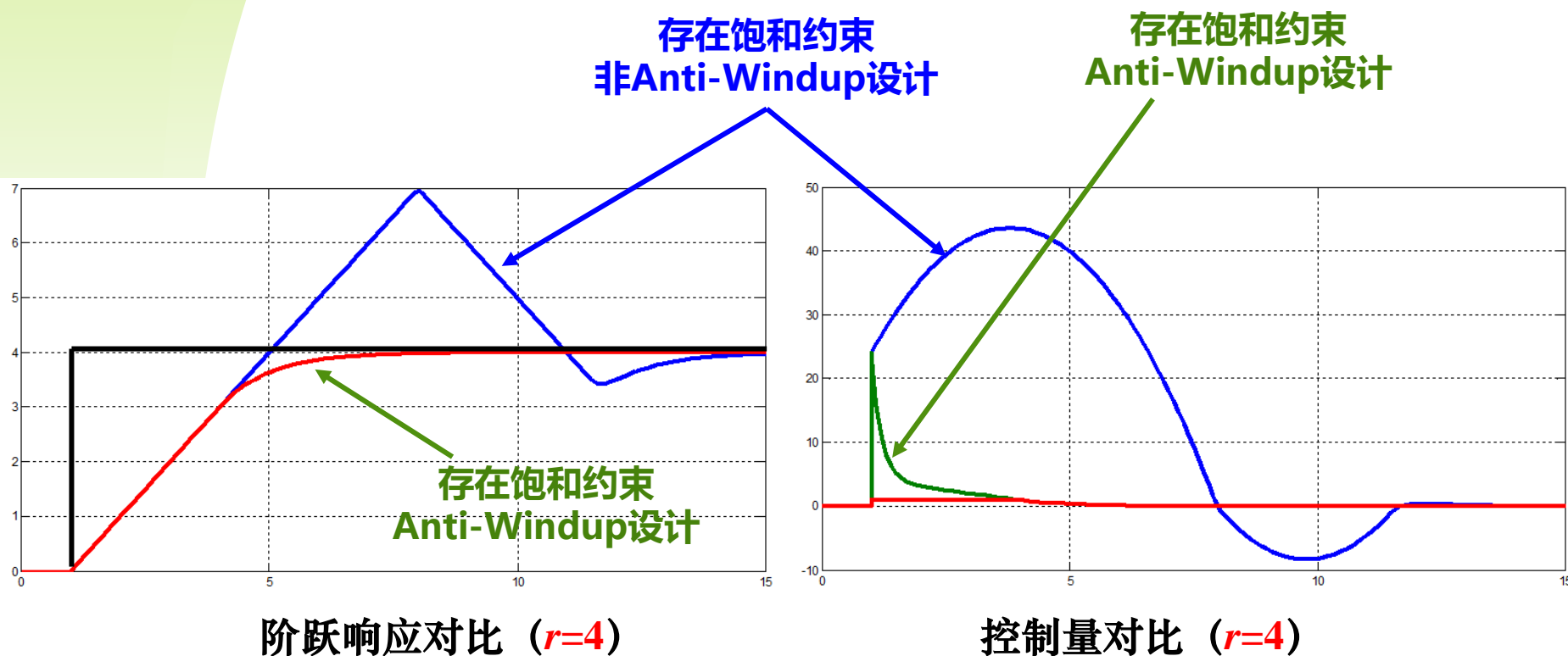
控制系统框图
(Anti-Windup控制器)



5.2.3 Anti-Windup的多种实现形式

Anti-Windup一般形式（第一种） | Anti-Windup一般形式（第二种）

◆ 例5 Anti-Windup 设计仿真结果





5.2.3 Anti-Windup的多种实现形式

Anti-Windup一般形式（第一种） | Anti-Windup一般形式（第二种）

◆ 例6——Anti-Windup一般形式控制器举例

不稳定对象 $G(s) = \frac{1}{s-1}$

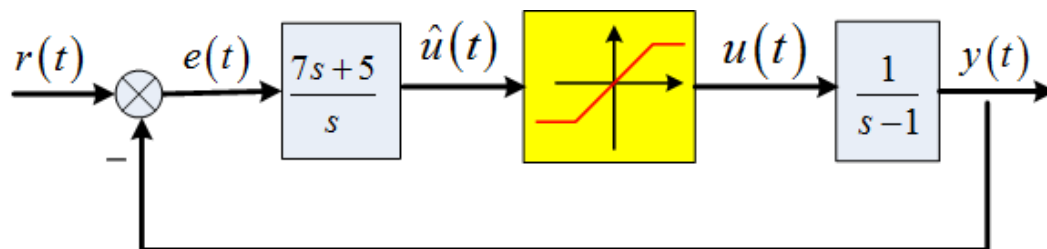
控制器 $L(s) = s$
 $P(s) = 7s + 5$

执行器限幅

$$u_{\max} = 1 \quad u_{\min} = -1$$

闭环极点

$$s_1 = -1, \quad s_2 = -5$$



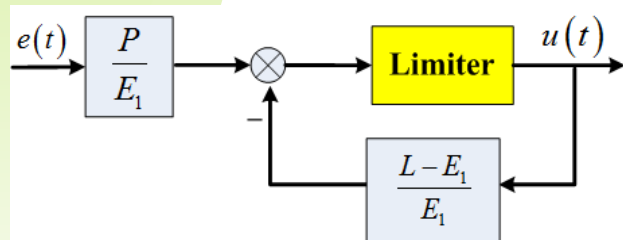
控制系统框图
(非Anti-Windup控制器)



5.2.3 Anti-Windup的多种实现形式

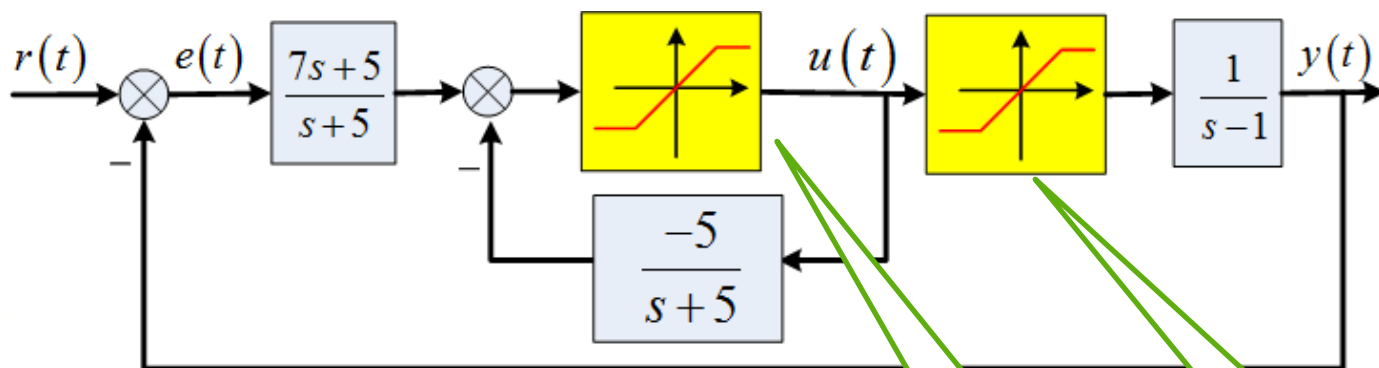
Anti-Windup一般形式（第一种） | Anti-Windup一般形式（第二种）

◆ 例6——Anti-Windup一般形式控制器举例



$$E_1(s) = s + 5$$

$$\frac{P(s)}{E_1(s)} = \frac{7s+5}{s+5} \quad \frac{L(s) - E_1(s)}{E_1(s)} = \frac{-5}{s+5}$$



控制系统框图
(Anti-Windup控制器)

构造的

实际的

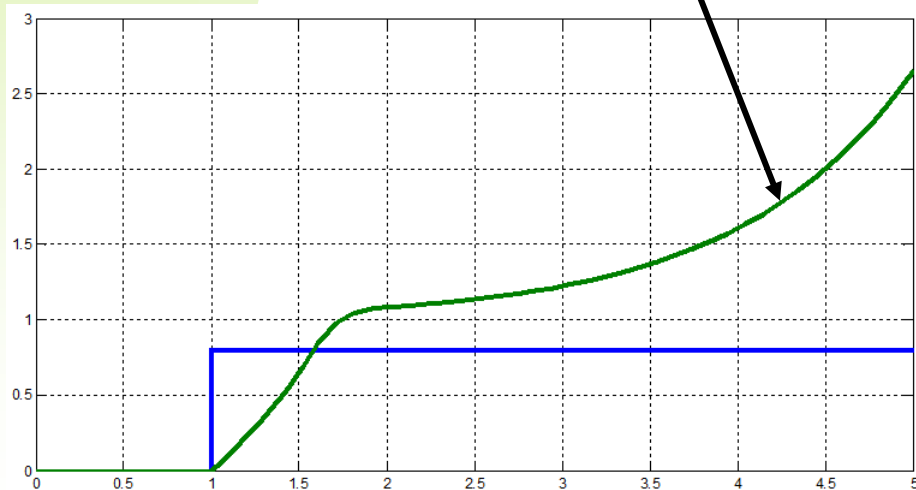


5.2.3 Anti-Windup的多种实现形式

Anti-Windup一般形式（第一种） | Anti-Windup一般形式（第二种）

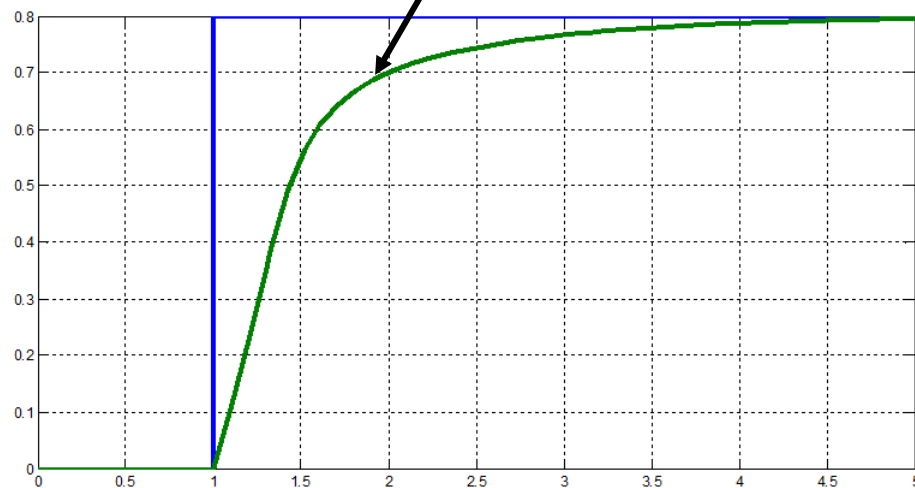
◆ 例6——Anti-Windup一般形式控制器举例

无Anti-Windup设计



阶跃响应对比 ($r=0.8$)
非Anti-Windup控制

Anti-Windup设计



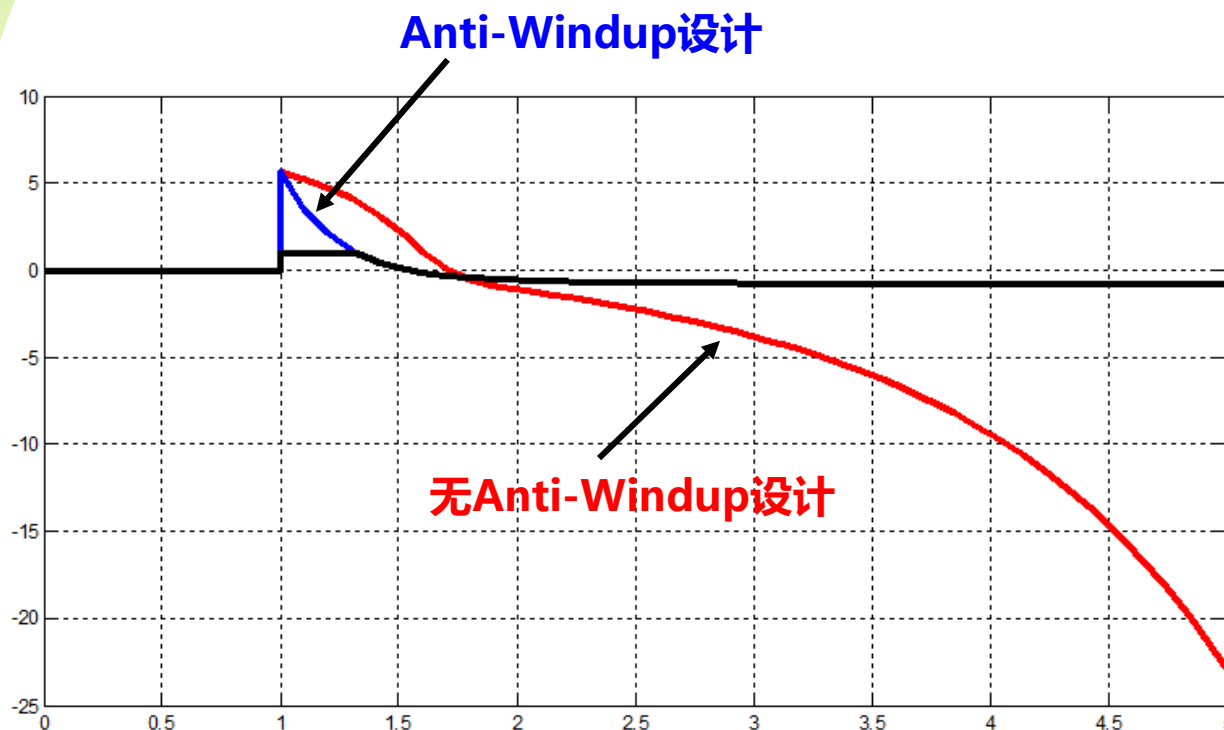
阶跃响应对比 ($r=0.8$)
Anti-Windup控制



5.2.3 Anti-Windup的多种实现形式

Anti-Windup一般形式（第一种） | Anti-Windup一般形式（第二种）

◆ 例6



阶跃响应 ($r=0.8$) 下的控制量对比

非Anti-Windup控制 Anti-Windup期望控制 Anti-Windup实际控制



总结

本节课内容回顾

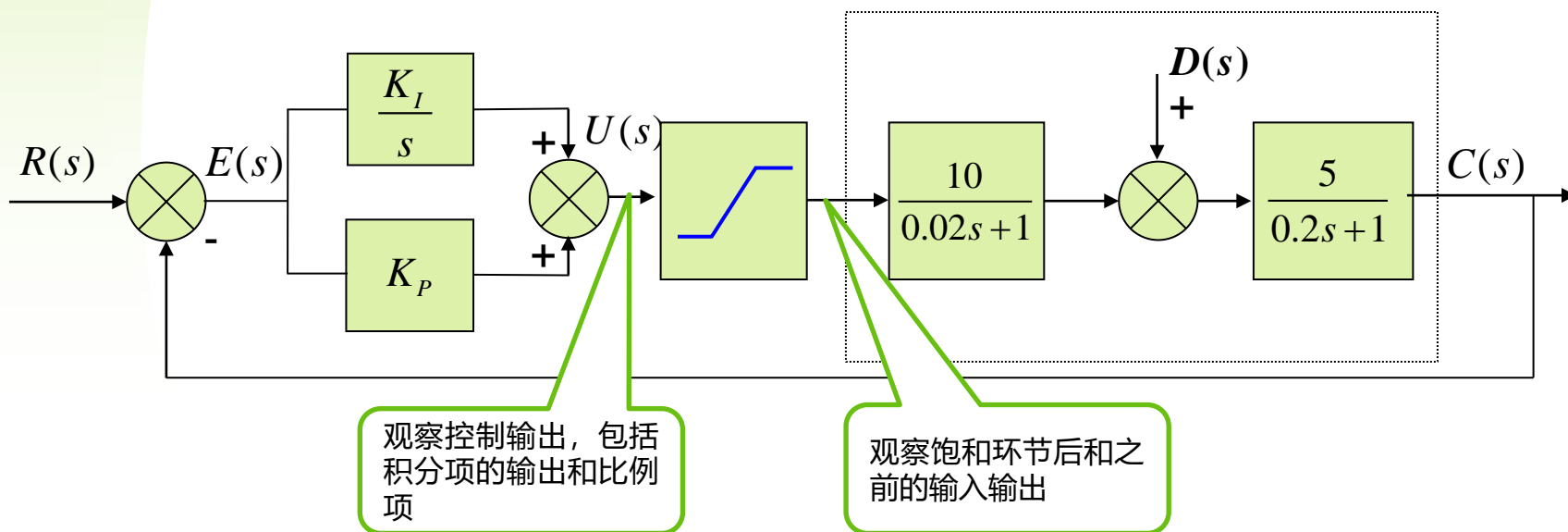
- 再次回顾了执行器饱和问题;
- 从控制器、各类输入信号与控制量关系角度分析了饱和原因;
- 给出了饱和和执行器转换速率限制的模型;
- 分析了积分器饱和原因及解决办法;
- 讲解了三种控制器Anti-Windup设计方法;



第18次 课后作业

1 必做作业

18-1 仿真题：对下面给定的系统（饱和环节幅值上下限都为10），首先采用PI控制器，调出保证系统稳定的参数，然后给定不同幅值的阶跃信号，（1）观察控制器积分项和比例项的输出，复现本节课所讲积分饱和现象；（2）采用课上给出的两种避免积分饱和的方法之一进行抗饱和设计，验证方法的有效性（可以采用S函数的方法实现）；

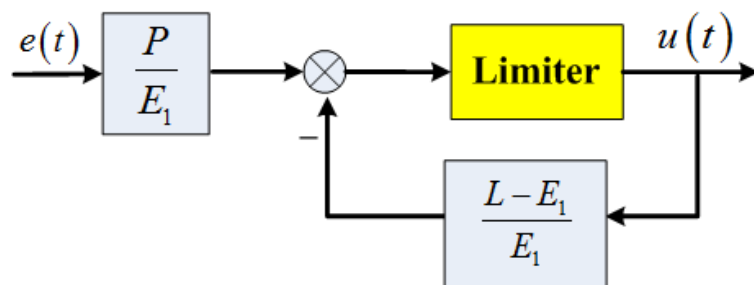
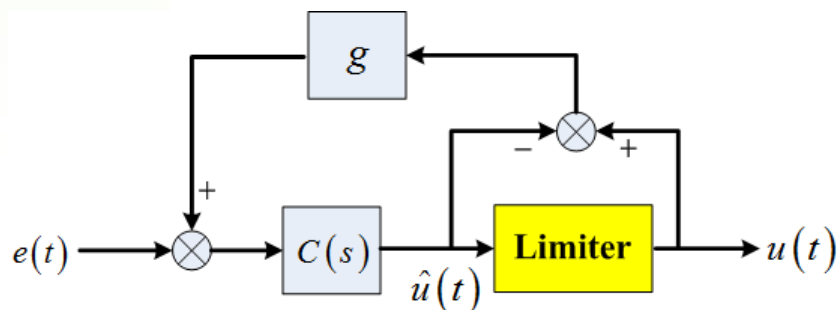
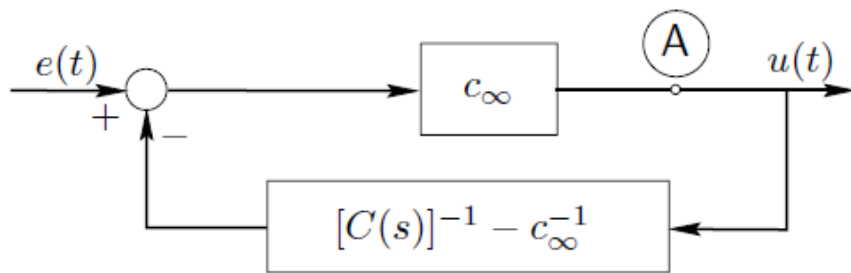




第18次 课后作业

1 必选作业

18-2 仿真题：对18-1给定的系统（饱和环节幅值上下限都为10），设计控制器使闭环系统稳定（可以用前面作业中的设计好的系统），然后采用下面的方法对控制器进行抗饱和设计，验证这些方法的有效性，加深对这些方法的理解；

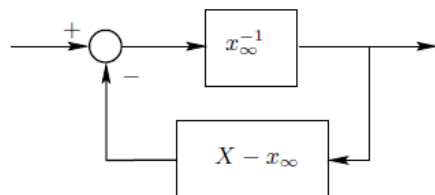




第18周 课后作业

2 可选作业

- 18.1 总结执行器饱和可能给实际系统带来的问题（结合噪声，谐振等的影响考虑）；
- 18.2 总结解决执行器饱和问题的各种方法（事前，事后，控制和控制之外，有些本节课提到过）；
- 18.3 对于积分饱和，除了课上讲的两种方法，你还能想到哪些抗饱和方法？能否做到既可以避免深度饱和，又不影响积分器的作用；
- 18.4 你在努力达成目标的过程中，出现过“饱和”问题吗？你是怎么解决的？
- 18.5 总结三种Anti-Windup设计方法的优劣和适用范围；
- 18.6 从信息利用的角度，解释Anti-Windup设计思想。
- 18.7 对于实际系统，如何获取实际执行器输出或被控对象输入。如果不能获得，那抗饱和控制应该如何实现？
- 18.8 推导下面框图的传递函数，并对结果进行分析，看看你有什么洞见；





拓展思考

自己总结，无需上交

- a. 控制理论和方法的能力边界（控制不是万能的）；
- b. 每一种控制方法的利与弊（硬币总有正反两面）；
- c. 控制系统中的各种约束与限制（你不能随心所欲）；
- d. 各种方法都有自己的适用条件（看准了再用）
- e. 控制系统设计中的优化问题（处处有优化）；
- f. 哪些是针对信号的，哪些又是针对系统的，如何进行转化（信号与系统）；
- g. 控制系统中的各种性能指标（为什么这么多）；
- h. 控制系统设计中的各种概念和原理给我们的人生启发（你可以控制好人生）；
- i. 控制系统中各种概念的联系与区别（对比才能深刻理解）
- j. 控制系统中主动和被动的的方法（上工治未病）；
- k. 分析仿真和实验，理论与实际的差别（纵然无法解决，也要给出解释）；
- l. 开环与闭环的特性（为什么一定要闭环）；
- m. 控制设计中可用的信息有哪些（信息有多重要）



拓展思考

自己总结，无需上交

- n 反馈的力量，闭环的作用（日用而不知）；
- o 时域和频域的联系与区别（形式不同，本质相通）；
- p 高与低，宽与窄，谁相对于谁（相对与绝对）；
- r 控制系统中的各种非线性及处理方法（怎么对付非线性）；
- s 反馈中的反馈，闭环中的闭环（只要有用就可以嵌套着使用）；
- t 特殊到一般，简单到复杂（走上科研创新之路）；



Thank You !

授课教师： 马 杰 (控制与仿真中心)
霍 鑫 (控制与仿真中心)
马克茂 (控制与仿真中心)
陈松林 (控制与仿真中心)